

ภาคผนวก

ภาคผนวก ก

ชุดภาพแผ่นยางดิบต้นฉบับสำหรับงานวิจัย

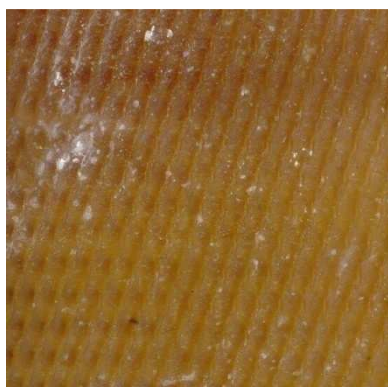
ตัวอย่างภาพแผ่นยางคียบที่ใช้สำหรับงานวิจัย โดยให้ชื่อภาพเป็นหมายเลขดังต่อไปนี้



ภาพที่ ก.1 หมายเลข 4011



ภาพที่ ก.2 หมายเลข 4012



ภาพที่ ก.3 หมายเลข 4013



ภาพที่ ก.4 หมายเลข 4014



ภาพที่ ก.5 หมายเลข 4021



ภาพที่ ก.6 หมายเลข 4022



ภาพที่ ก.7 หมายเลข 4023



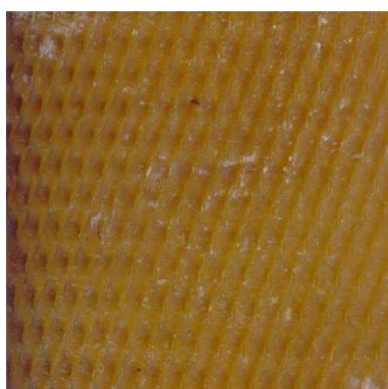
ภาพที่ ก.8 หมายเลข 4024



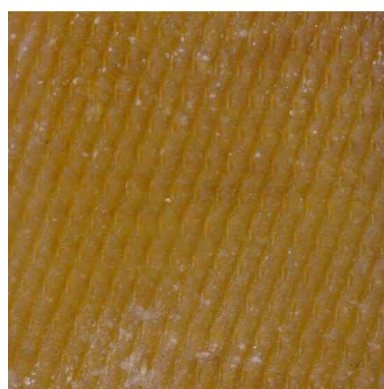
ภาพที่ ก.9 หมายเลข 4031



ภาพที่ ก.10 หมายเลข 4032



ภาพที่ ก.11 หมายเลข 4033



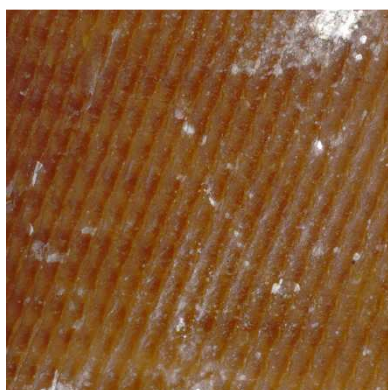
ภาพที่ ก.12 หมายเลข 4034



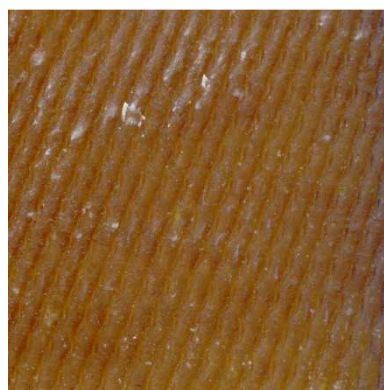
ภาพที่ ก.13 หมายเลข 4041



ภาพที่ ก.14 หมายเลข 4042



ภาพที่ ก.15 หมายเลข 4043



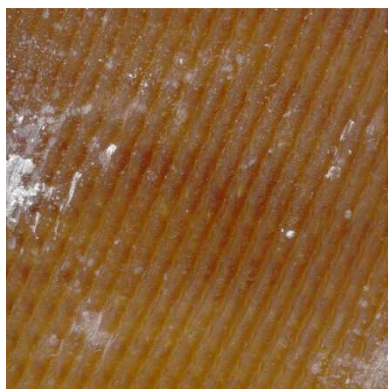
ภาพที่ ก.16 หมายเลข 4044



ภาพที่ ก.17 หมายเลข 4051



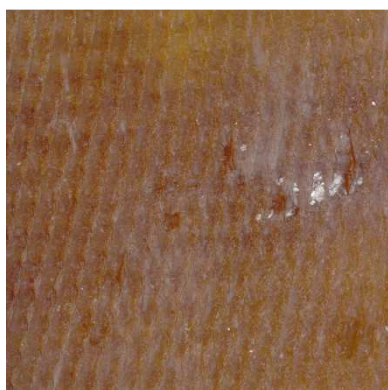
ภาพที่ ก.18 หมายเลข 4052



ภาพที่ ก.19 หมายเลข 4053



ภาพที่ ก.20 หมายเลข 4054



ภาพที่ ก.21 หมายเลข 4061



ภาพที่ ก.22 หมายเลข 4062



ภาพที่ ก.23 หมายเลข 4063



ภาพที่ ก.24 หมายเลข 4064



ภาพที่ ก.25 หมายเลข 4071



ภาพที่ ก.26 หมายเลข 4072



ภาพที่ ก.27 หมายเลข 4073



ภาพที่ ก.28 หมายเลข 4074



ภาพที่ ก.29 หมายเลข 4081



ภาพที่ ก.30 หมายเลข 4082



ภาพที่ ก.31 หมายเลข 4083



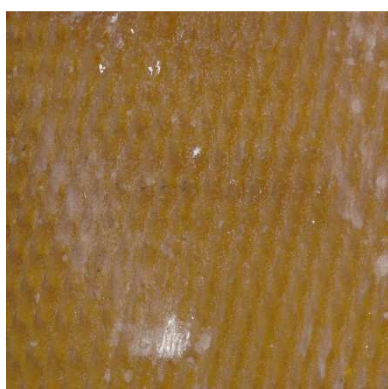
ภาพที่ ก.32 หมายเลข 4084



ภาพที่ ก.33 หมายเลข 4091



ภาพที่ ก.34 หมายเลข 4092



ภาพที่ ก.35 หมายเลข 4093



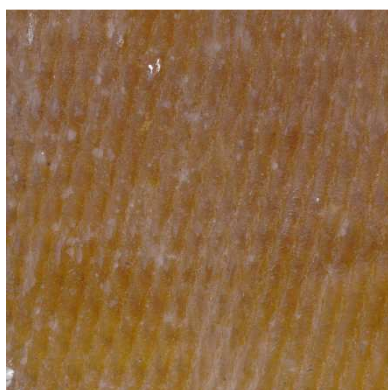
ภาพที่ ก.36 หมายเลข 4094



ภาพที่ ก.37 หมายเลข 4101



ภาพที่ ก.38 หมายเลข 4102



ภาพที่ ก.39 หมายเลข 4103

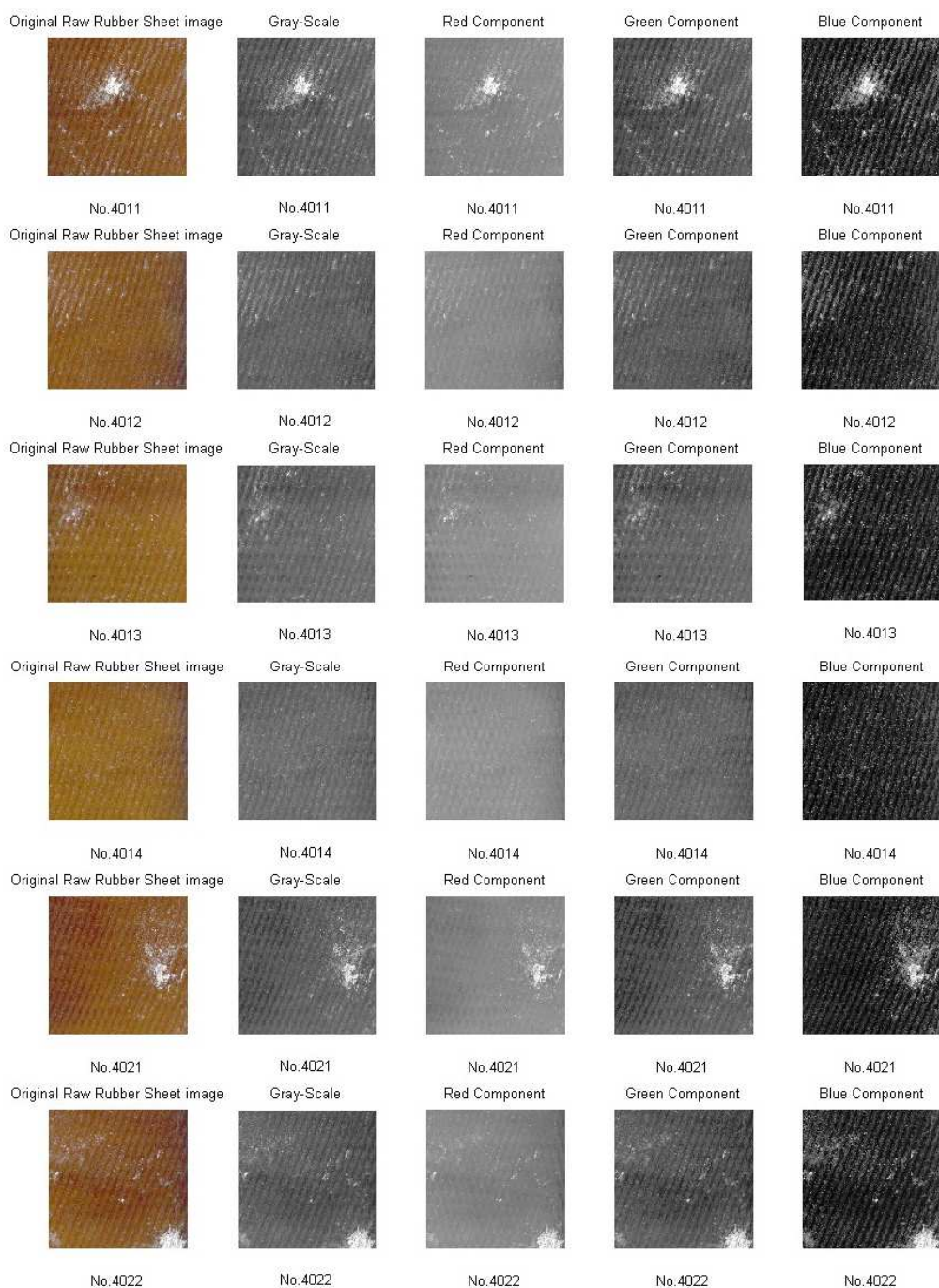


ภาพที่ ก.40 หมายเลข 4104

ภาคผนวก ข

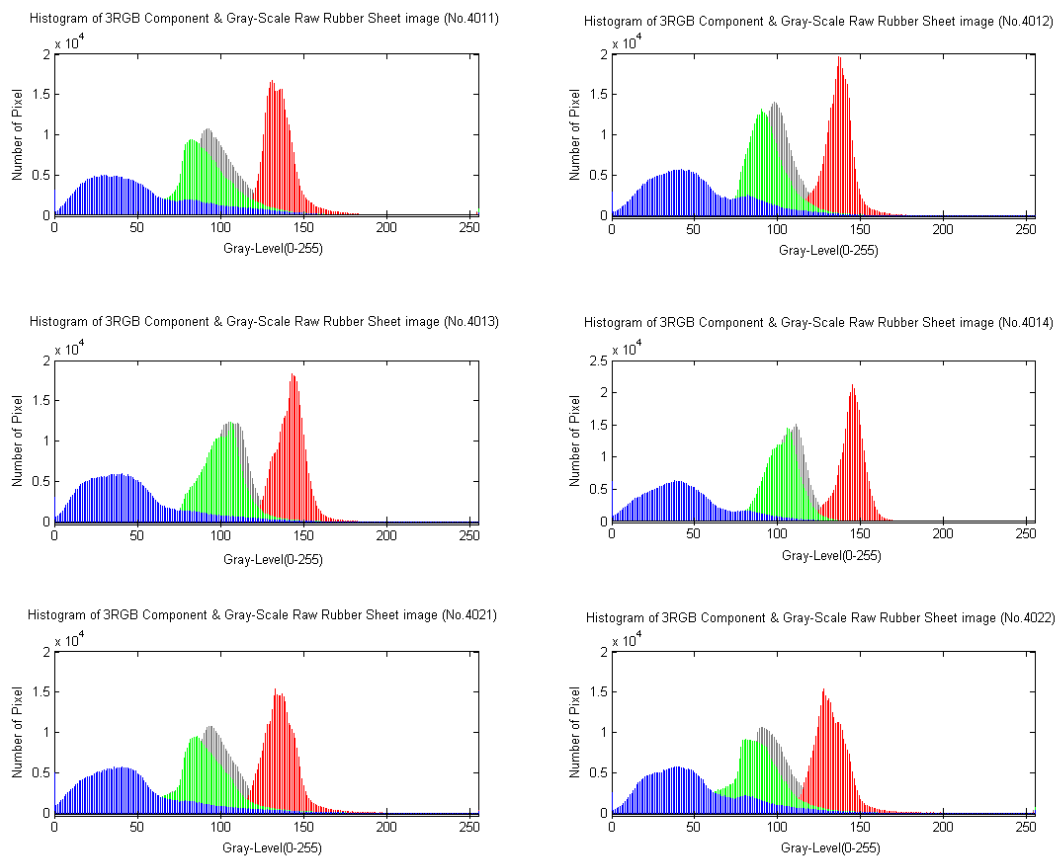
**ชุดภาพแผ่นยางดิบต้นฉบับในขั้นตอนการเตรียมการประมวลผล
(ภาพผลลัพธ์การแยกองค์ประกอบภาพสีและกราฟฮีستโตแกรม)**

ชุดภาพผลลัพธ์การแยกองค์ประกอบภาพสีสำหรับภาพ ก. หมายเลข 4011, 4012, 4013, 4014, 4021 และ 4022



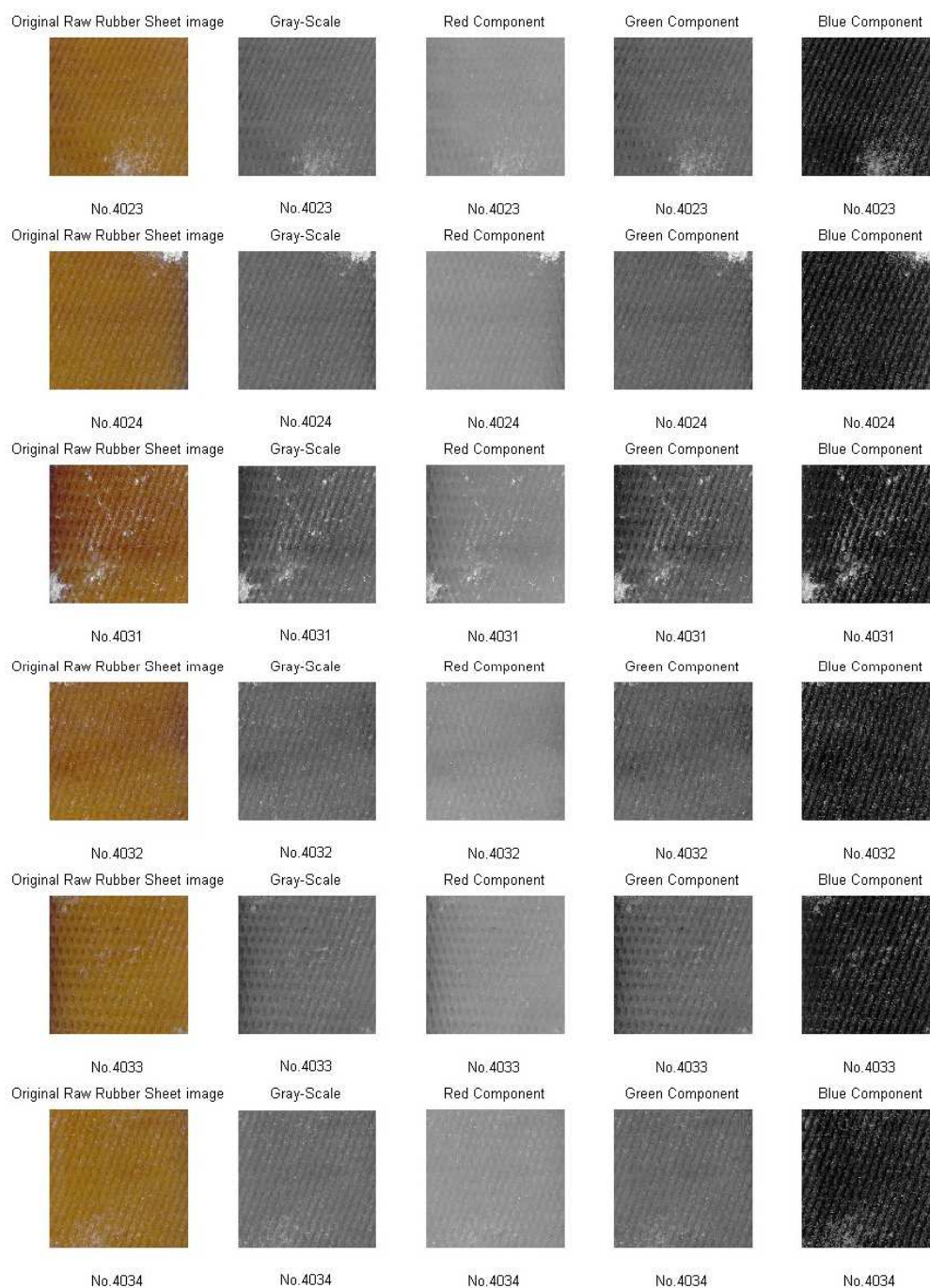
ภาพที่ ข.1 ผลลัพธ์การแยกองค์ประกอบภาพสีการแยกภาพสี

ชุดภาพผลลัพธ์กราฟฮิสโตแกรมสำหรับภาพ ก. หมายเลข 4011, 4012, 4013, 4014, 4021 และ 4022



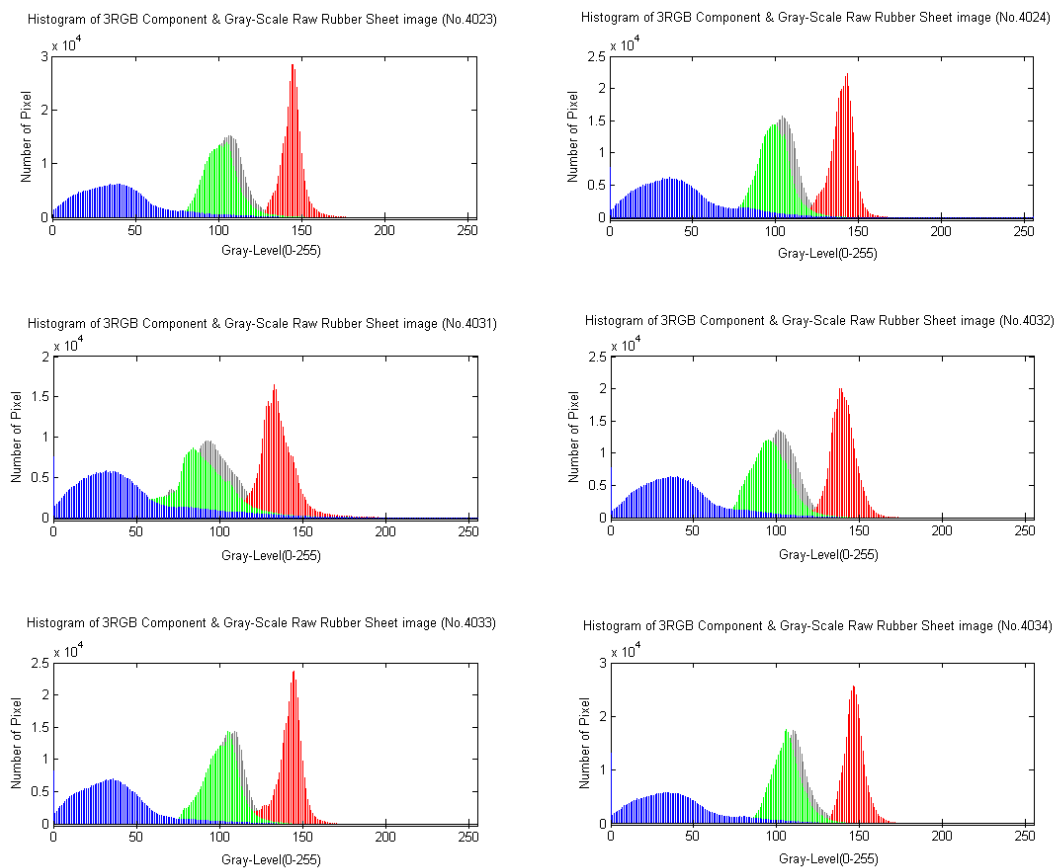
ภาพที่ ข.2 ผลลัพธ์กราฟฮิสโตแกรม

ชุดภาพผลลัพธ์การแยกองค์ประกอบภาพสีสำหรับภาพ ก. หมายเลข 4023, 4024, 4031, 4032, 4033 และ 4034



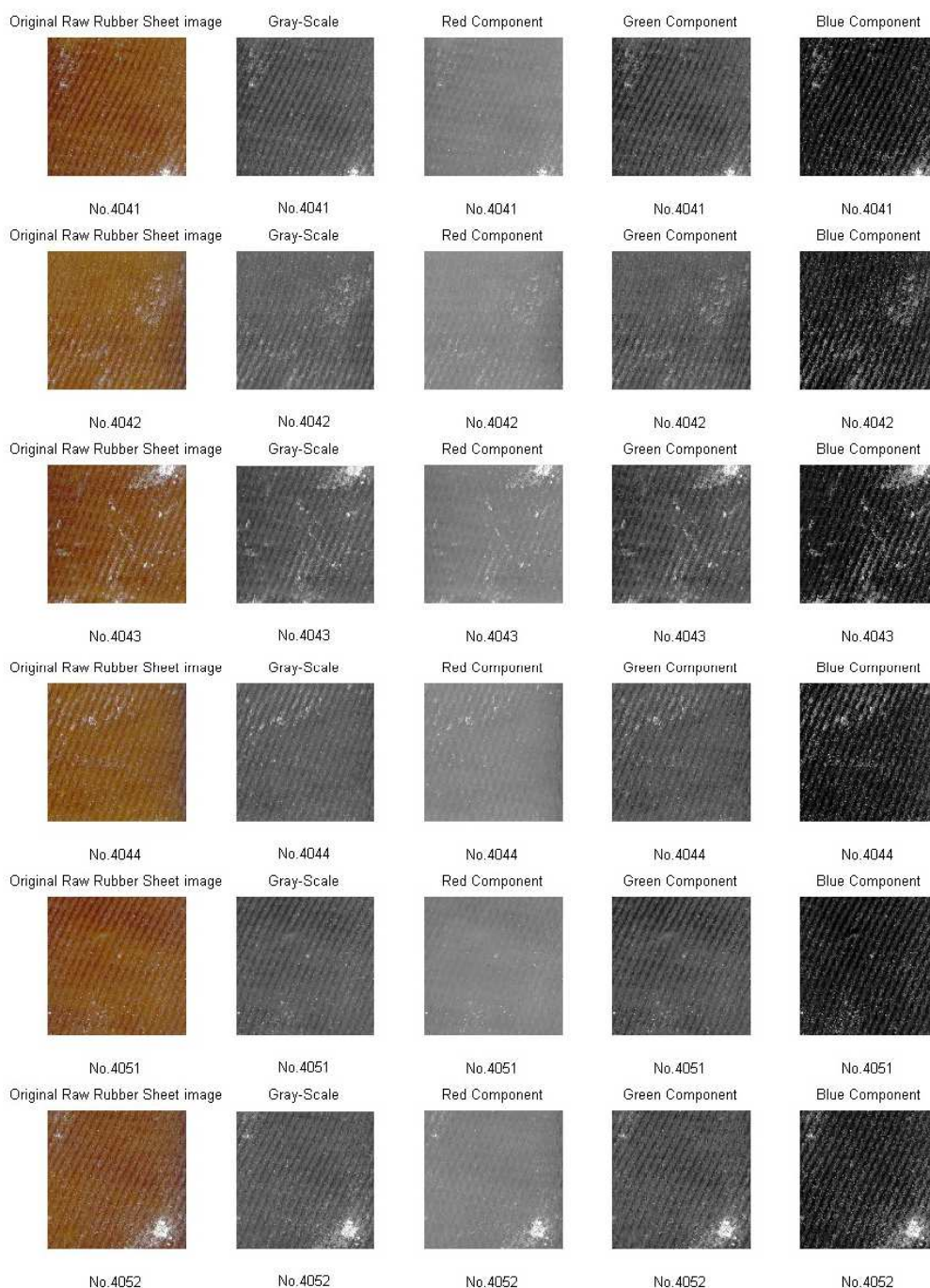
ภาพที่ ข.3 ผลลัพธ์การแยกองค์ประกอบภาพสีการแยกภาพสี

ชุดภาพผลลัพธ์กราฟฮิสโตแกรมสำหรับภาพ ก. หมายเลข 4023, 4024, 4031, 4032,
4033 และ 4034



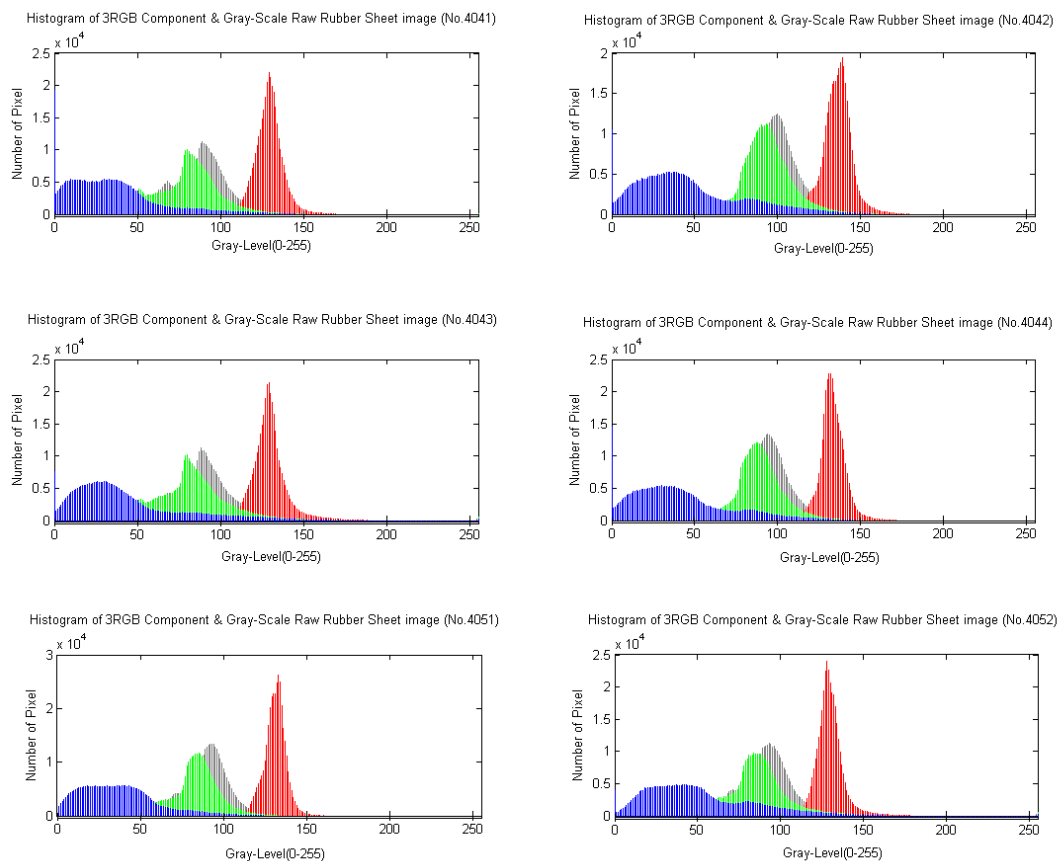
ภาพที่ ข.4 ผลลัพธ์กราฟฮิสโตแกรม

ชุดภาพผลลัพธ์การแยกองค์ประกอบภาพสีสำหรับภาพ ก. หมายเลข 4041, 4042, 4043, 4044, 4051 และ 4052



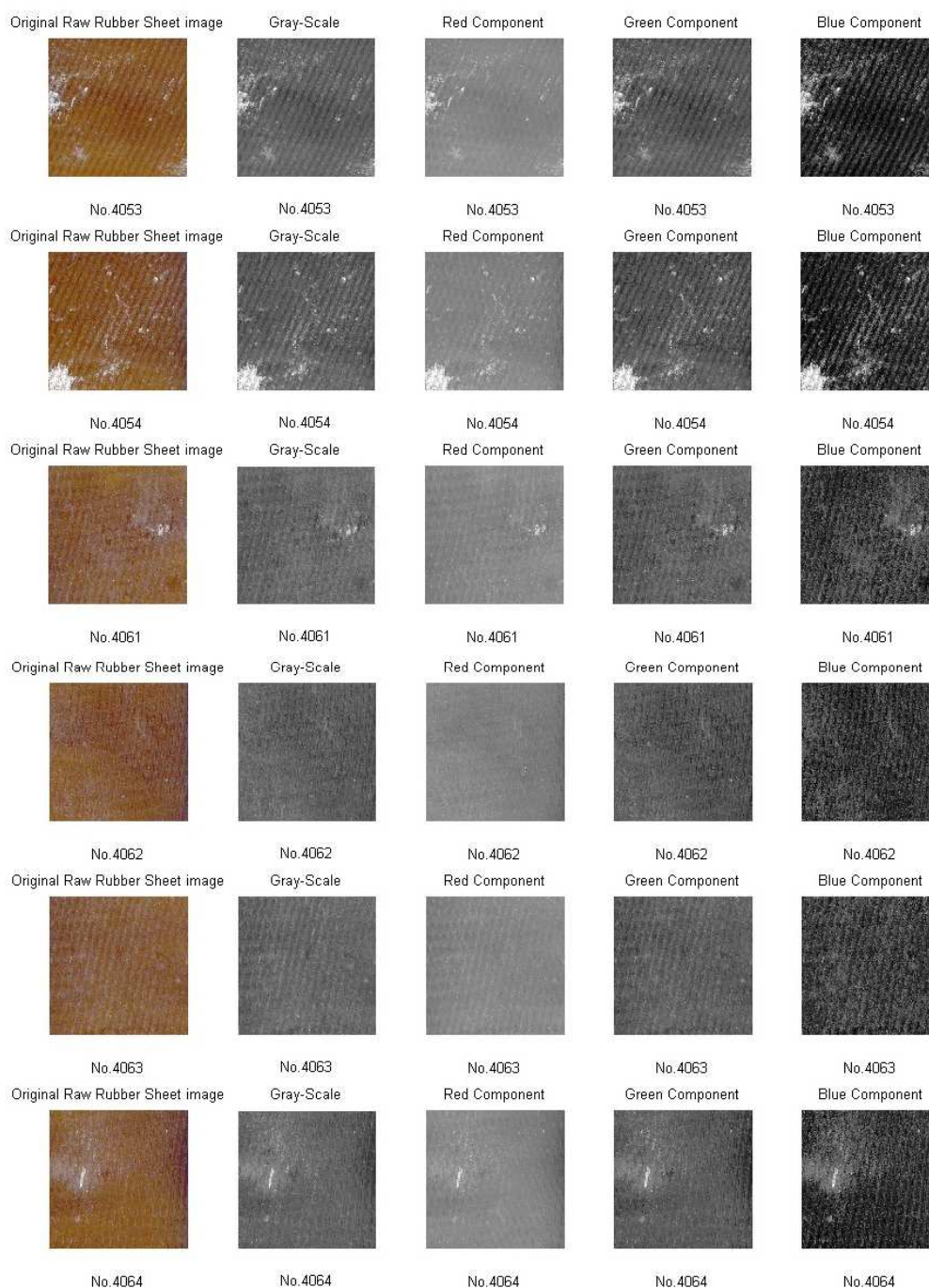
ภาพที่ ข.5 ผลลัพธ์การแยกองค์ประกอบภาพสีการแยกภาพสี

ชุดภาพผลลัพธ์กราฟฮิสโตแกรมสำหรับภาพ ก. หมายเลข 4041, 4042, 4043, 4044,
4051 และ 4052



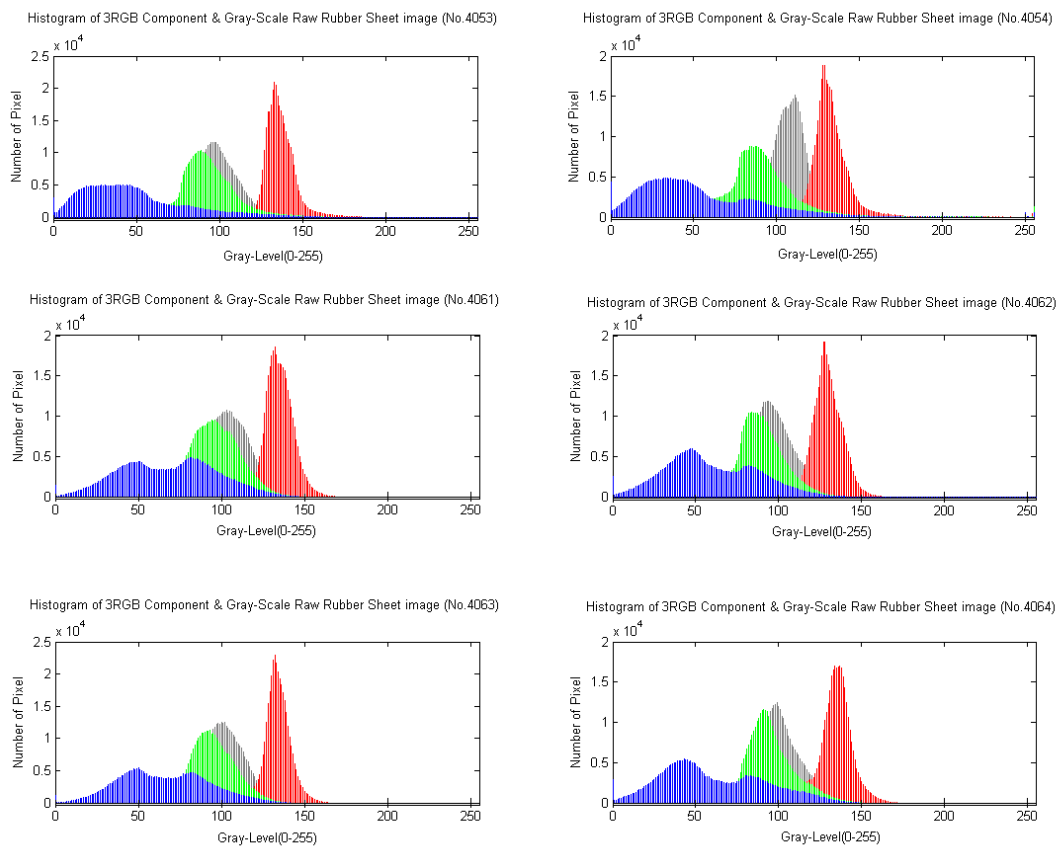
ภาพที่ ข.6 ผลลัพธ์กราฟฮิสโตแกรม

ชุดภาพผลลัพธ์การแยกองค์ประกอบภาพสีสำหรับภาพ ก. หมายเลข 4053, 4054, 4061, 4062, 4063 และ 4064



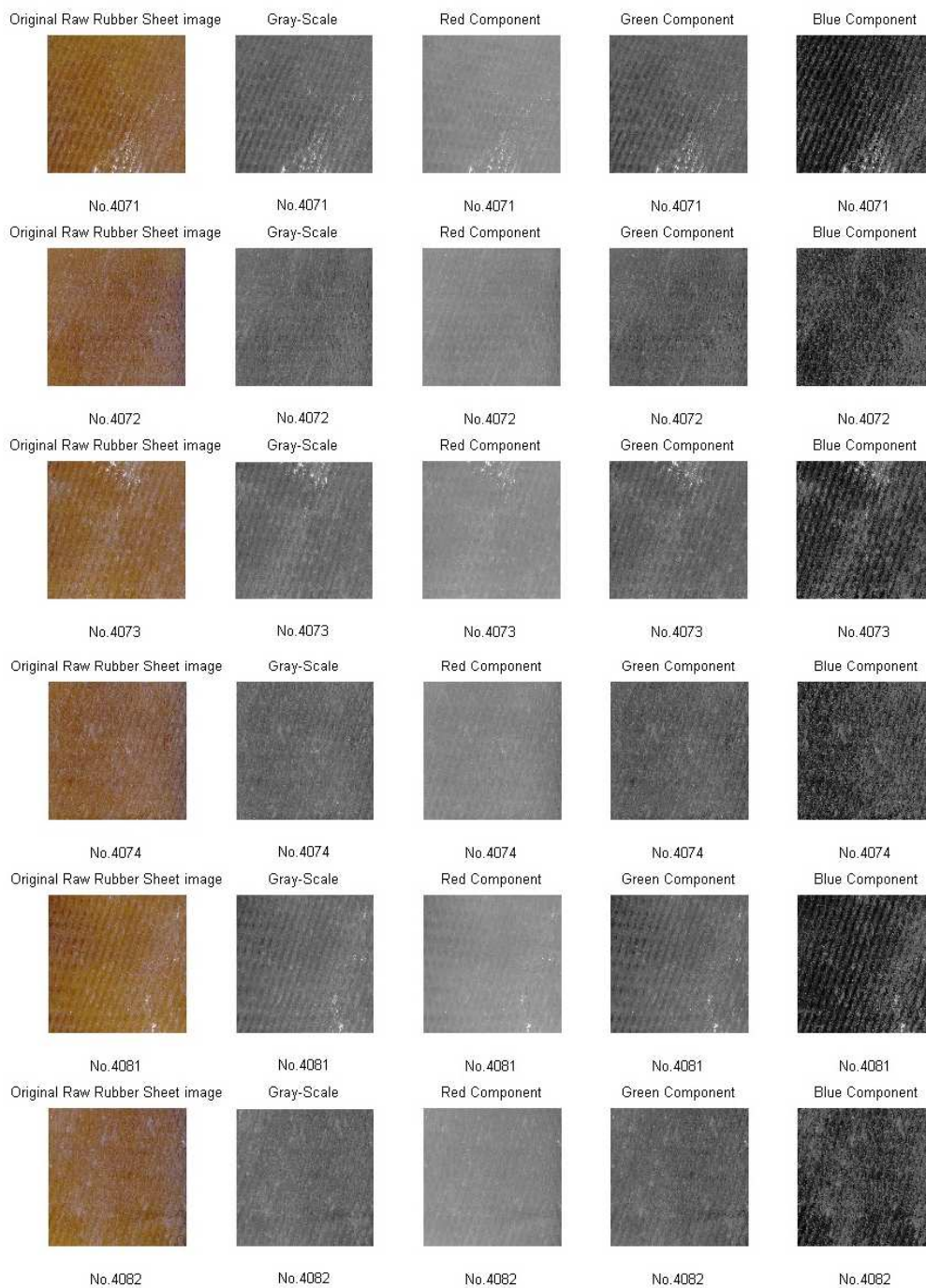
ภาพที่ ข.7 ผลลัพธ์การแยกองค์ประกอบภาพสีการแยกภาพสี

ชุดภาพผลลัพธ์กราฟฮิสโตแกรมสำหรับภาพ ก. หมายเลข 4053, 4054, 4061, 4062, 4063 และ 4064



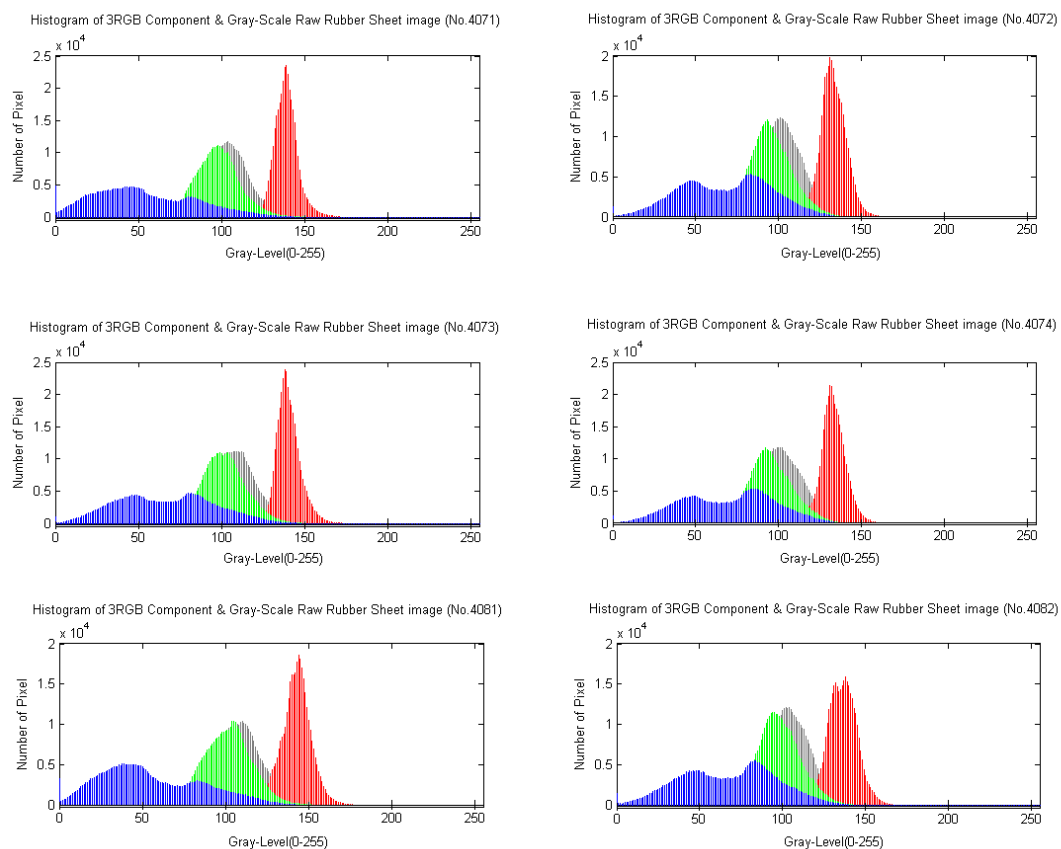
ภาพที่ ข.8 ผลลัพธ์กราฟฮิสโตแกรม

ชุดภาพผลลัพธ์การแยกองค์ประกอบภาพสีสำหรับภาพ ก. หมายเลข 4071, 4072, 4073,
4074, 4081และ4082



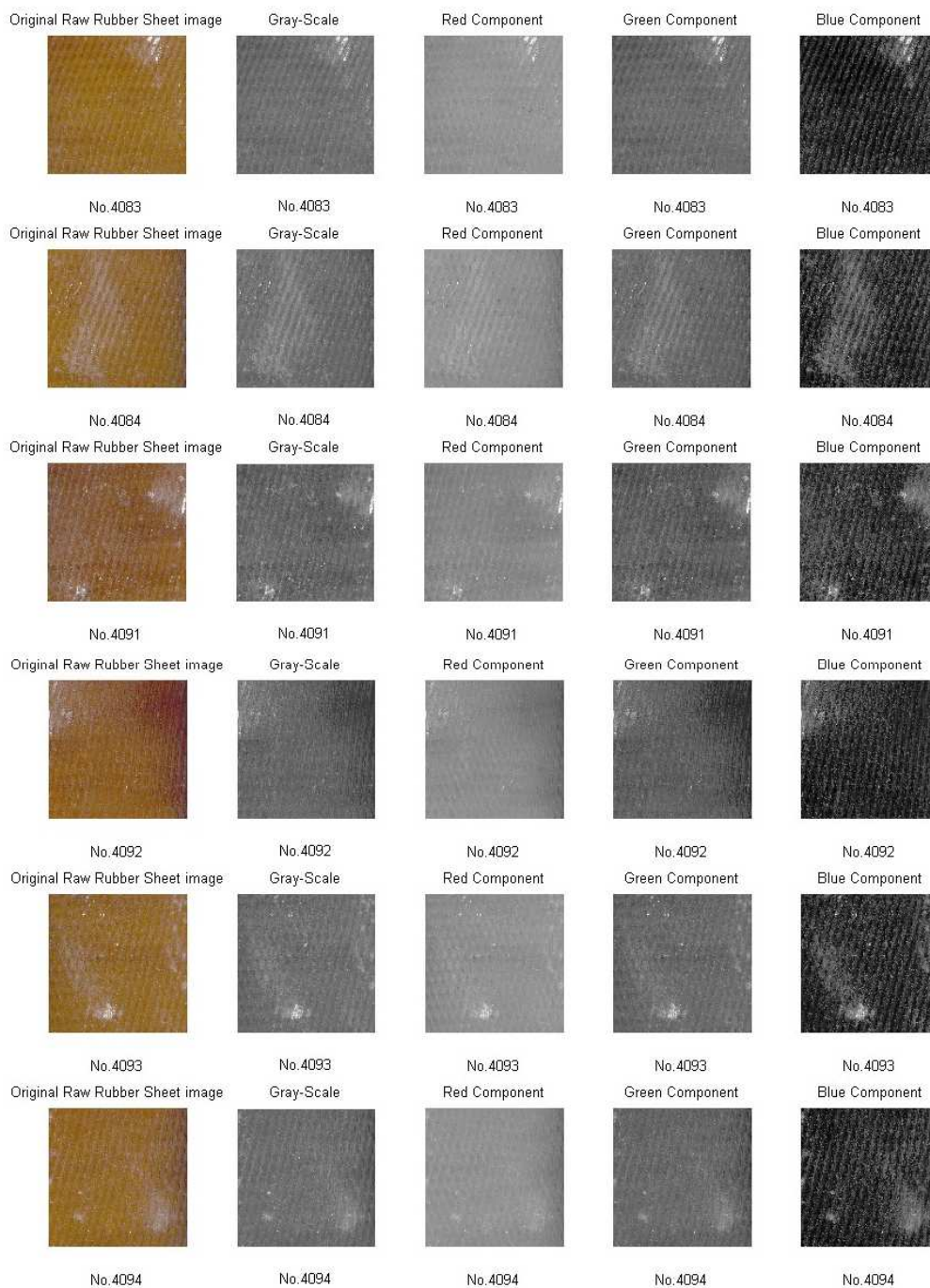
ภาพที่ ข.9 ผลลัพธ์การแยกองค์ประกอบภาพสีการแยกภาพสี

ชุดภาพผลลัพธ์กราฟสีสโตแกรมสำหรับภาพ ก. หมายเลข 4071, 4072, 4073, 4074, 4081 และ 4082



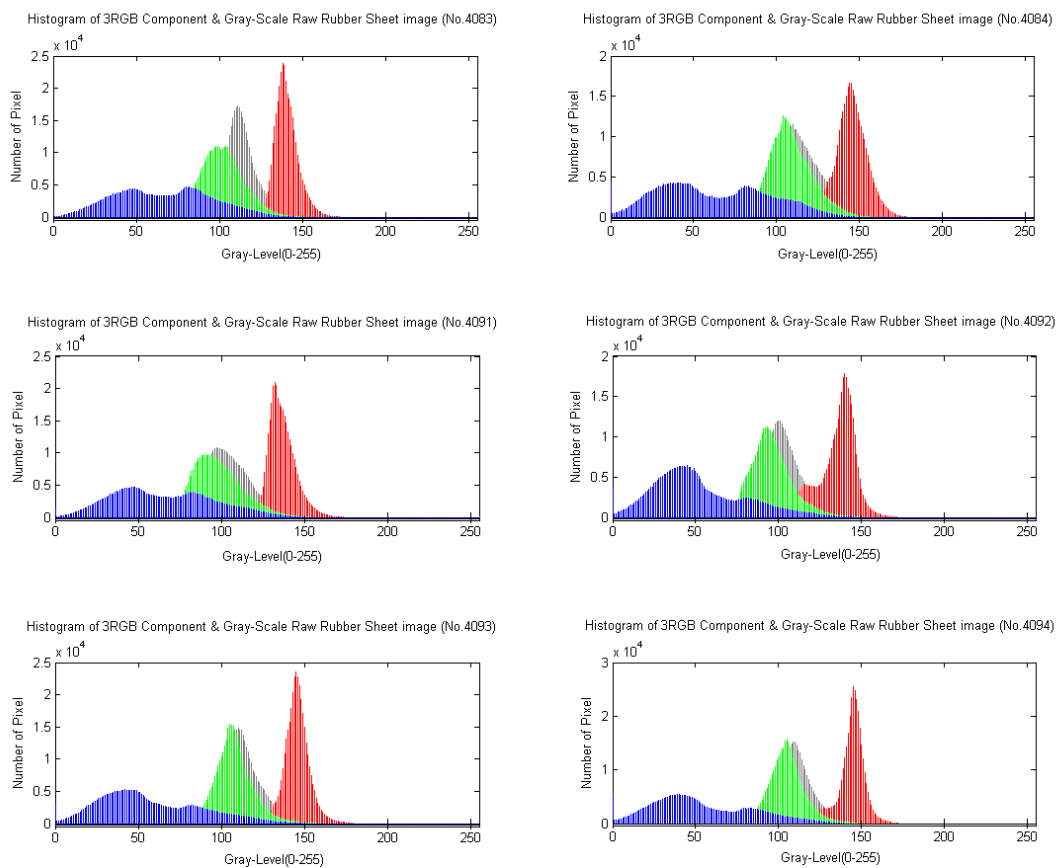
ภาพที่ ข.10 ผลลัพธ์กราฟสีสโตแกรม

ชุดภาพผลลัพธ์การแยกองค์ประกอบภาพสีสำหรับภาพ ก. หมายเลข 4083, 4084, 4091, 4092, 4093 และ 4094



ภาพที่ ข.11 ผลลัพธ์การแยกองค์ประกอบภาพสีการแยกภาพสี

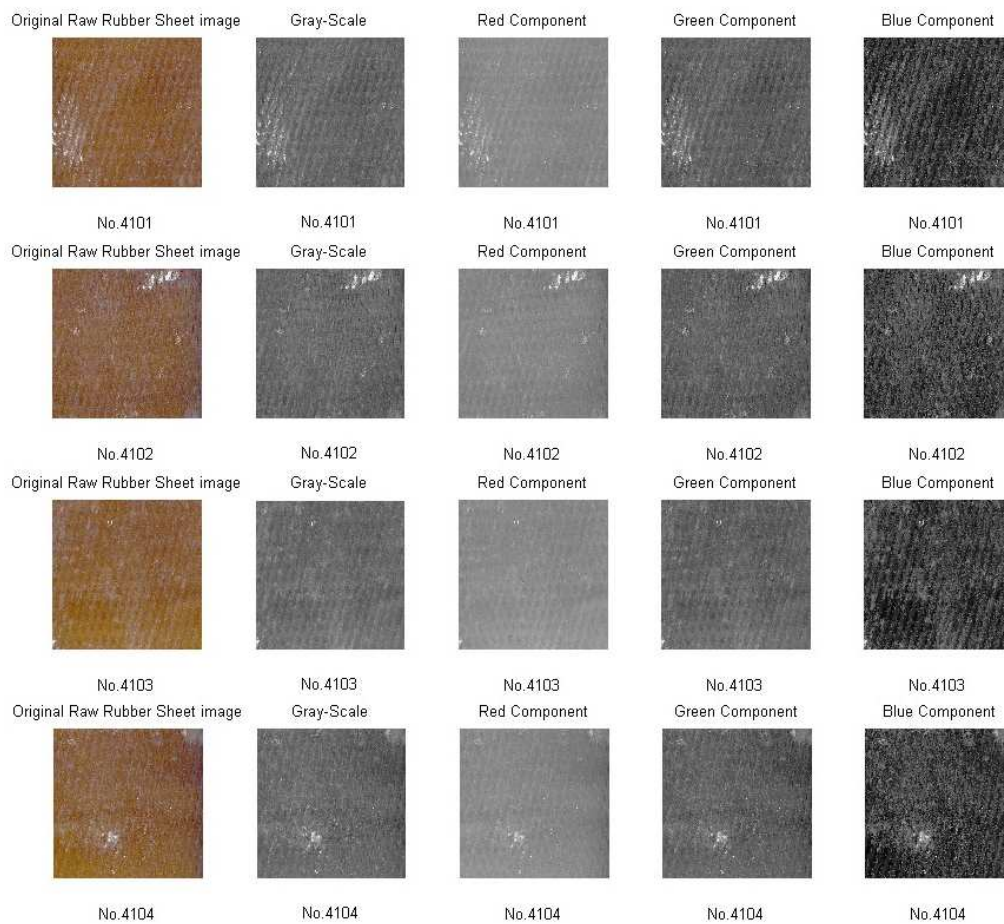
ชุดภาพผลลัพธ์ผลลัพธ์กราฟฮิสโตแกรมสำหรับภาพ ก. หมายเลข 4083, 4084, 4091, 4092, 4093 และ 4094



ภาพที่ ข.12 ผลลัพธ์กราฟฮิสโตแกรม

ชุดภาพผลลัพธ์การแยกองค์ประกอบภาพสีสำหรับภาพ ก. หมายเลข 4101, 4102, 4103

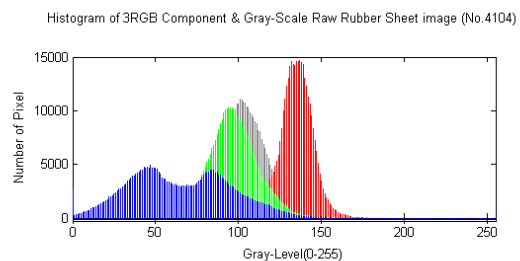
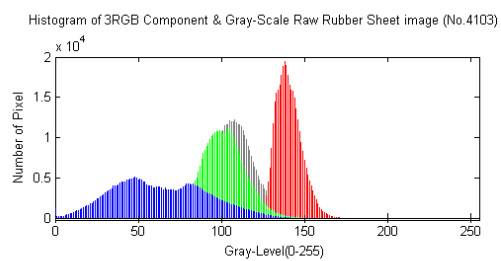
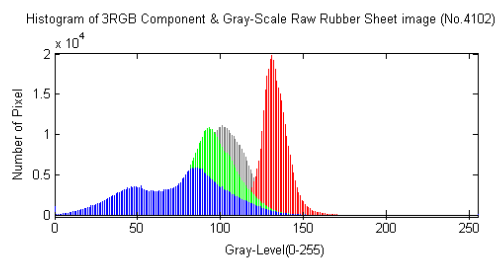
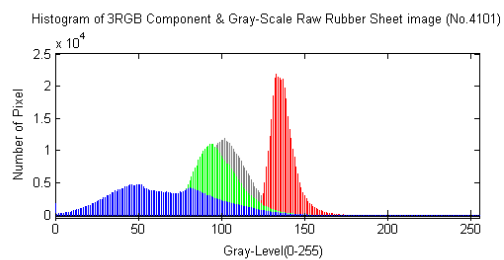
และ 4104



ภาพที่ ข.13 ผลลัพธ์การแยกองค์ประกอบภาพสีการแยกภาพสี

ชุดภาพผลลัพธ์ผลลัพธ์กราฟฮิสโตแกรมสำหรับภาพ ก. หมายเลข 4101, 4102, 4103

และ4104

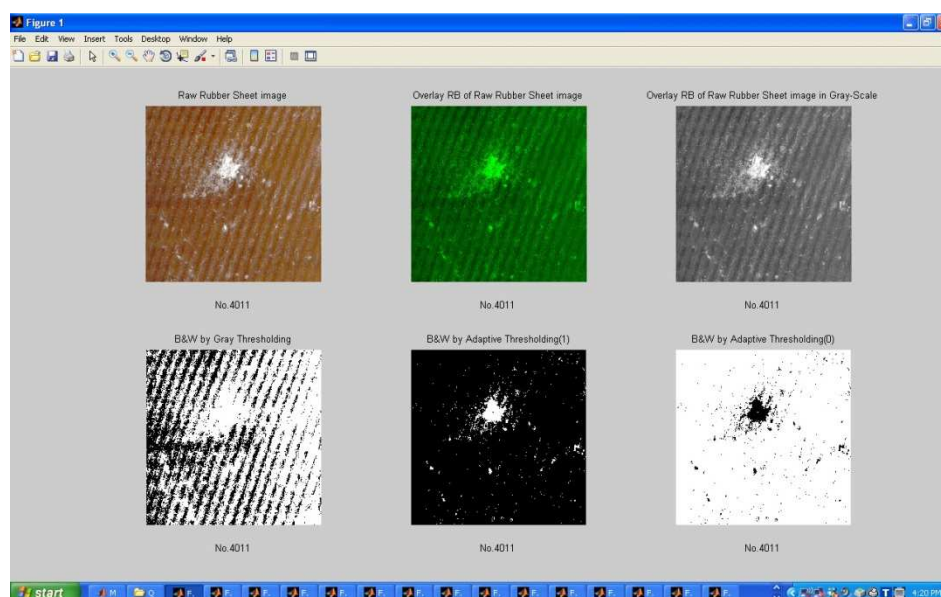


ภาพที่ ข.14 ผลลัพธ์กราฟฮิสโตแกรม

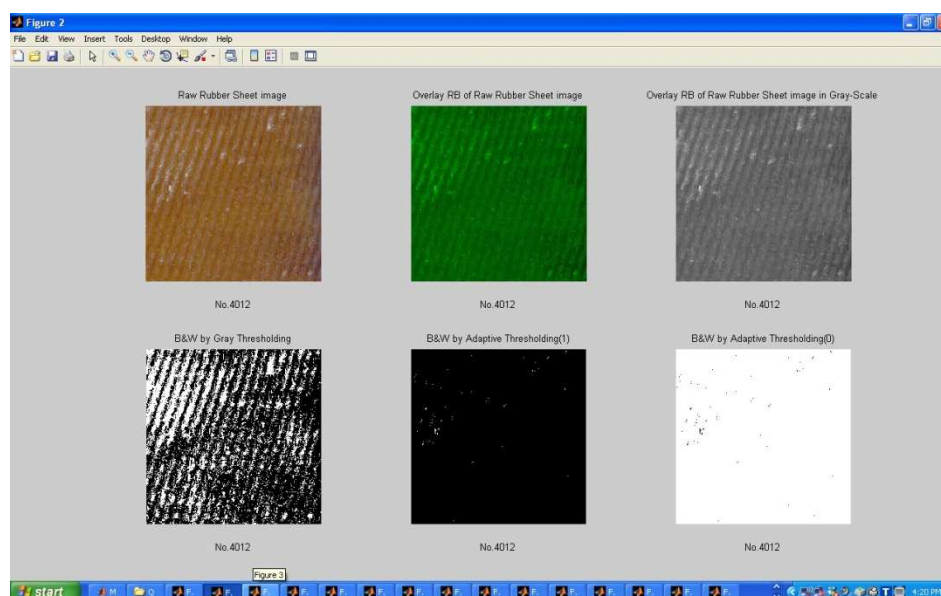
ภาคผนวก ค

ชุดภาพผลลัพธ์ใช้เทคนิคค่าเกณฑ์แบบปรับตัวที่นำเสนอ

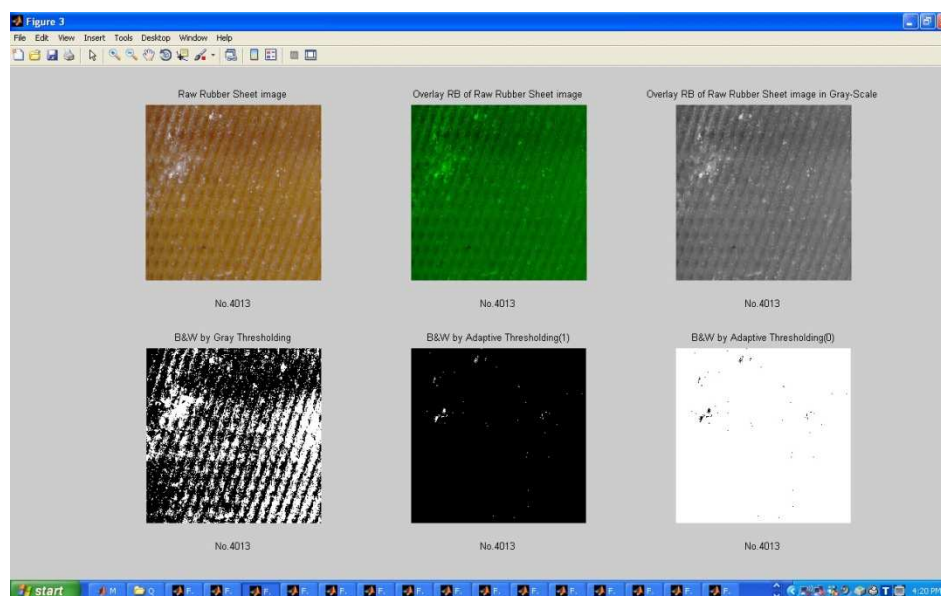
ผลการทดสอบการประมวลผลองค์ประกอบภาพ RB เทียบกับภาพแผ่นยางดิบ



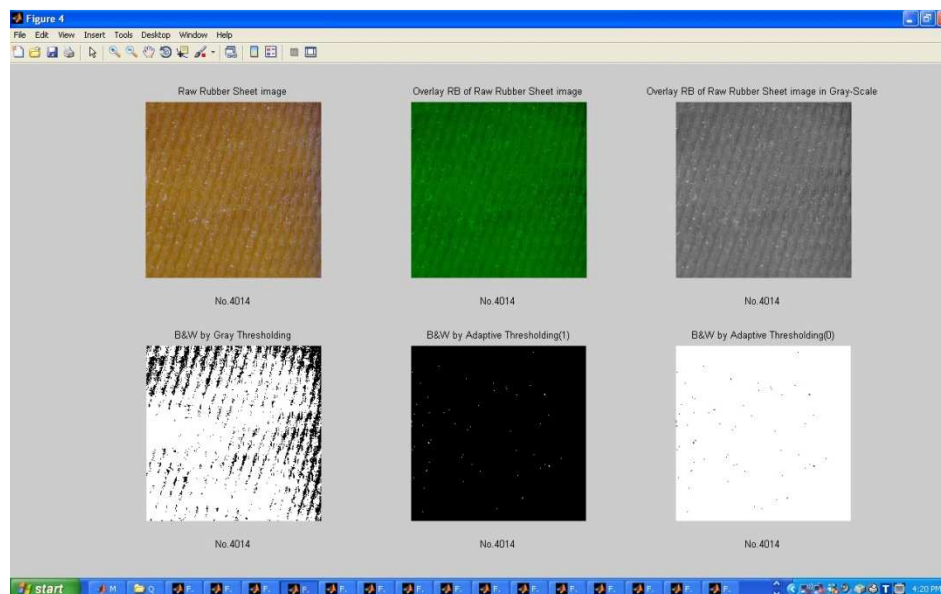
ภาพที่ ค.1 ผลการทดสอบการประมวลผลองค์ประกอบภาพ RB เทียบกับภาพแผ่นยางดิบหมายเลข 4011



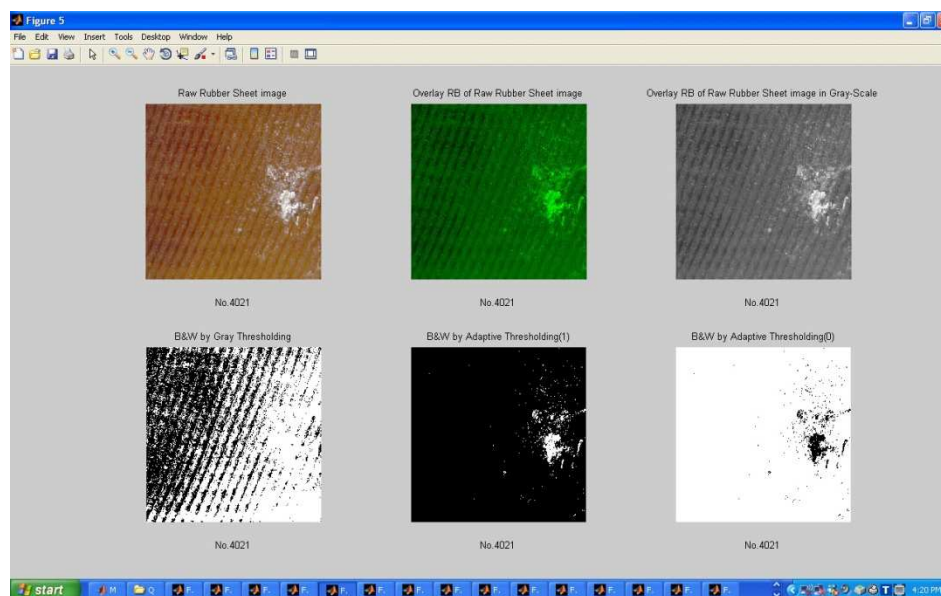
ภาพที่ ค.2 ผลการทดสอบการประมวลผลองค์ประกอบภาพ RB เทียบกับภาพแผ่นยางดิบหมายเลข 4012



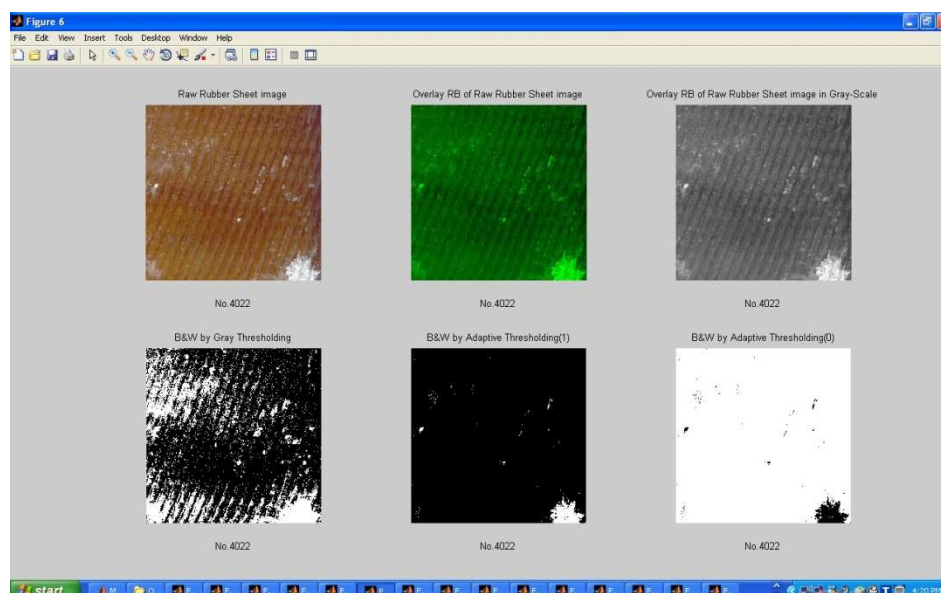
ภาพที่ ค.3 ผลการทดสอบการประมวลผลองค์ประกอบภาพ RB เทียบกับภาพแผ่นยางดิบหมายเลข 4013



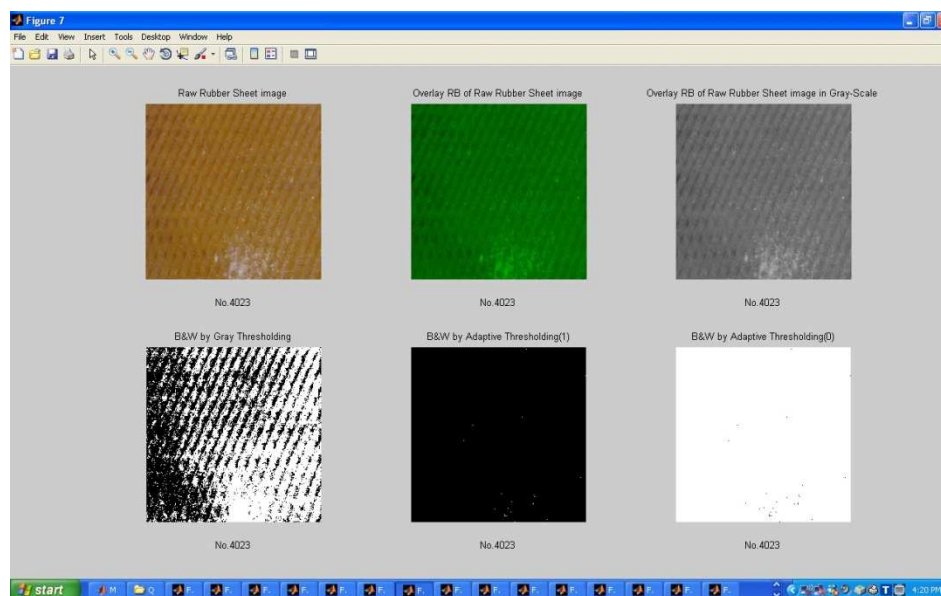
ภาพที่ ค.4 ผลการทดสอบการประมวลผลองค์ประกอบภาพ RB เทียบกับภาพแผ่นยางดิบหมายเลข 4014



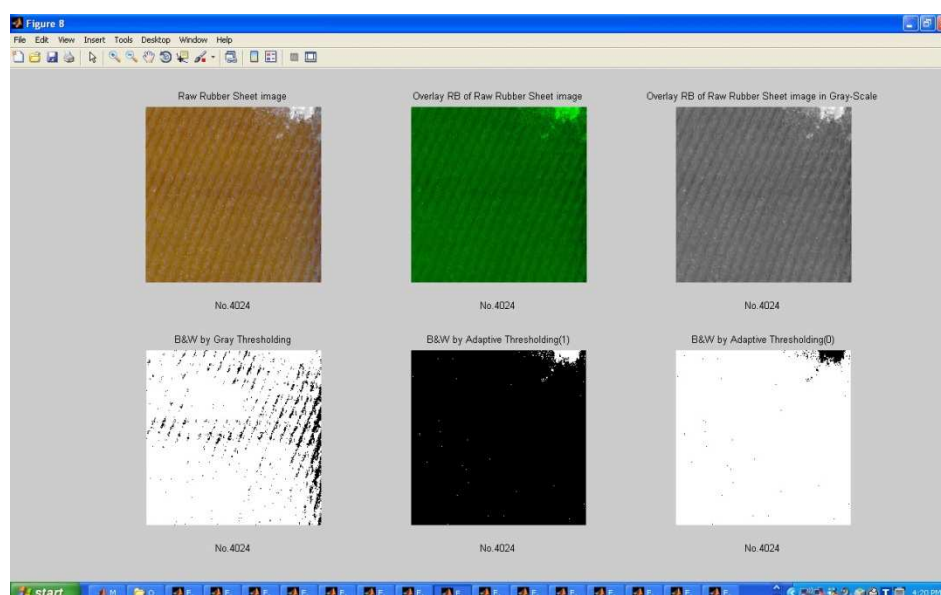
ภาพที่ ค.5 ผลการทดสอบการประมวลผลองค์ประกอบภาพ RB เทียบกับภาพแผ่นยางดิบหมายเลข 4021



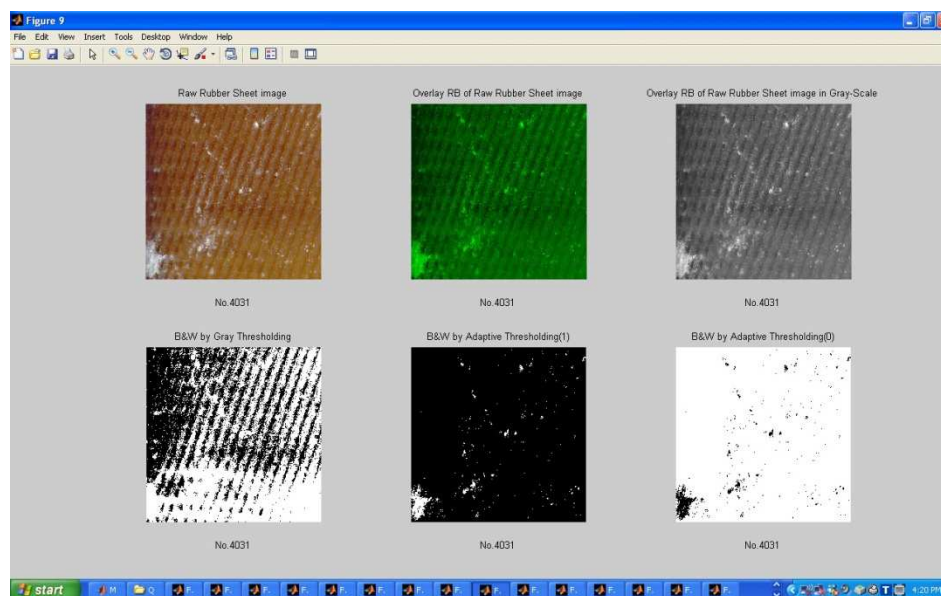
ภาพที่ ค.6 ผลการทดสอบการประมวลผลองค์ประกอบภาพ RB เทียบกับภาพแผ่นยางดิบหมายเลข 4022



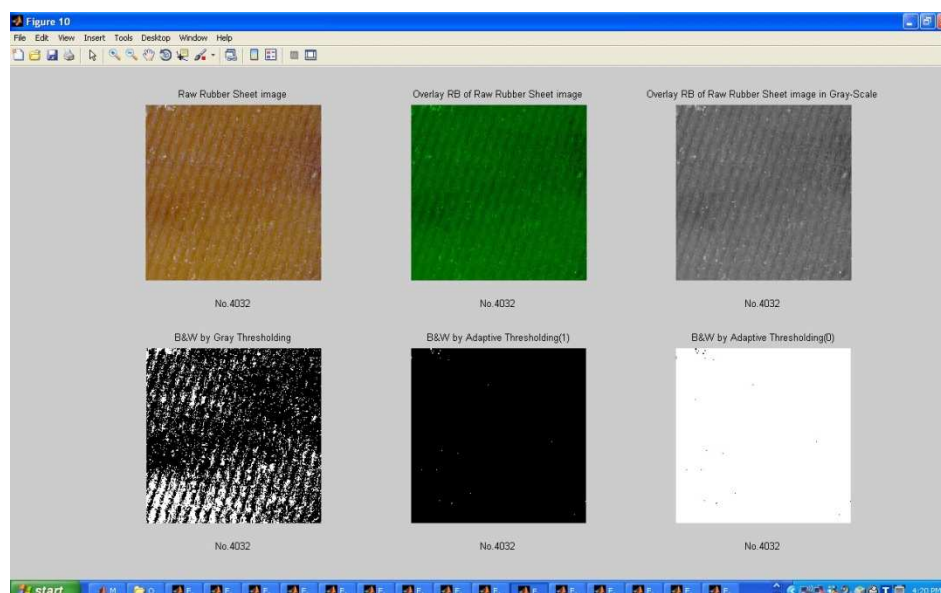
ภาพที่ ค.7 ผลการทดสอบการประมวลผลองค์ประกอบภาพ RB เทียบกับภาพแผ่นยางดิบหมายเลข 4023



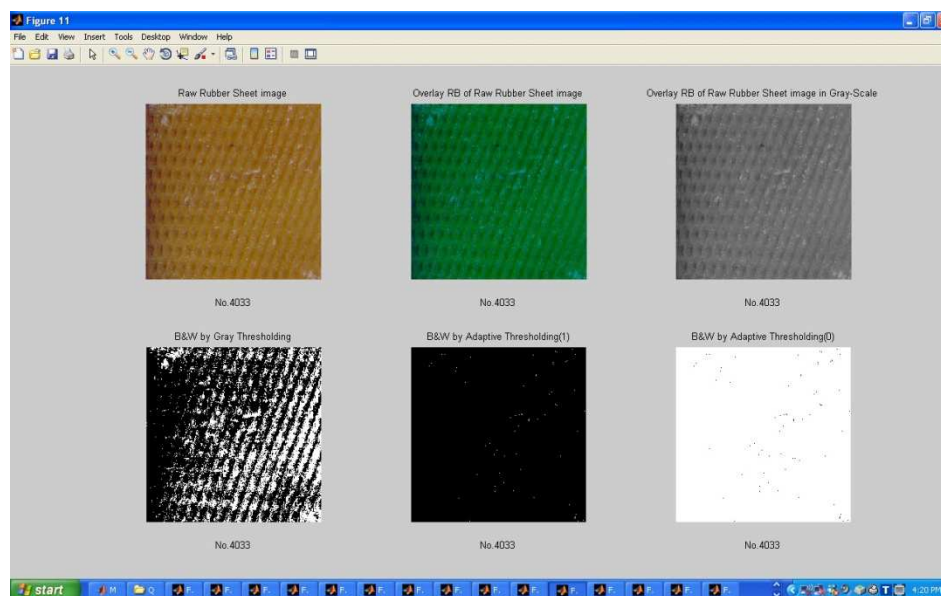
ภาพที่ ค.8 ผลการทดสอบการประมวลผลองค์ประกอบภาพ RB เทียบกับภาพแผ่นยางดิบหมายเลข 4024



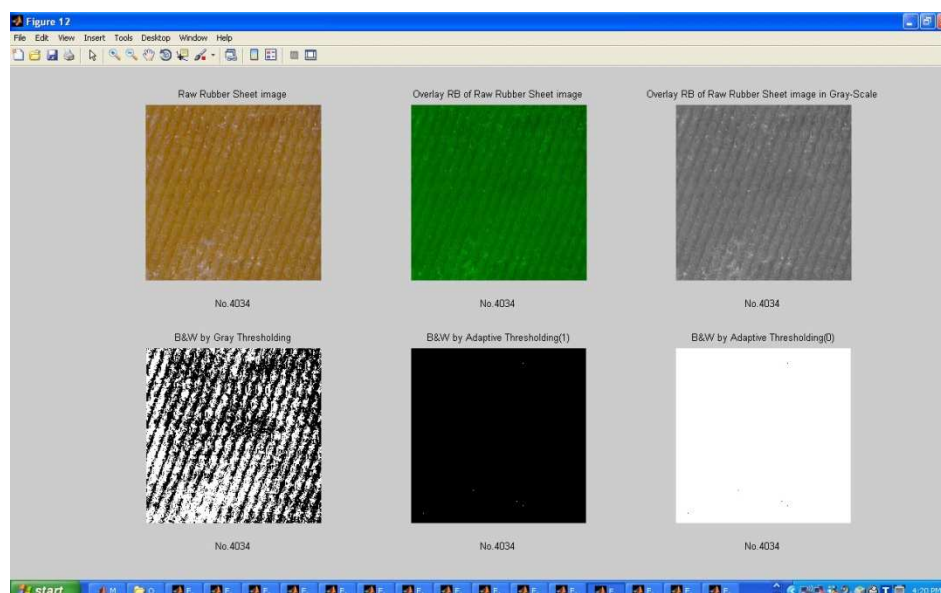
ภาพที่ ค.9 ผลการทดสอบการประมวลผลองค์ประกอบภาพ RB เทียบกับภาพแผ่นยางดิบหมายเลข 4031



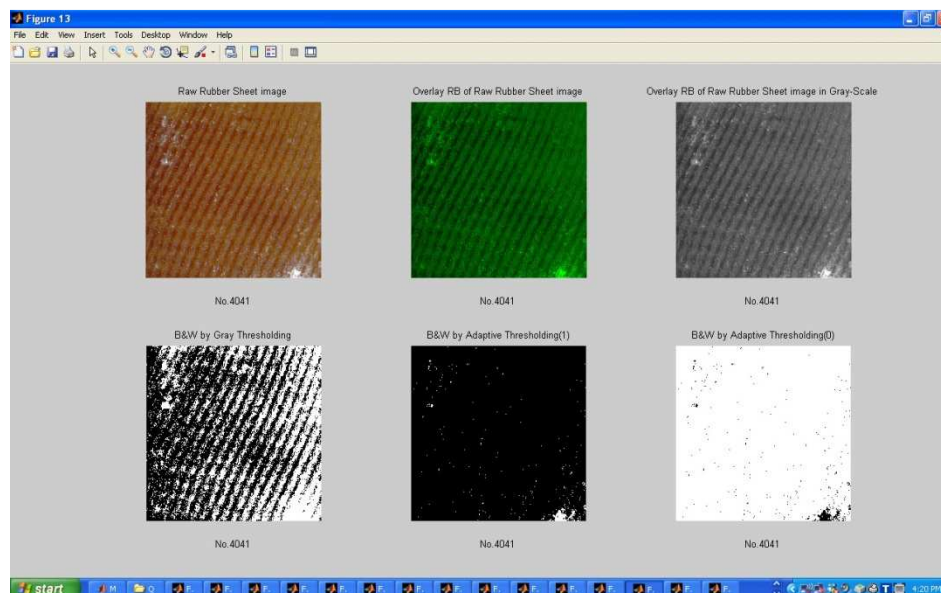
ภาพที่ ค.10 ผลการทดสอบการประมวลผลองค์ประกอบภาพ RB เทียบกับภาพแผ่นยางดิบ หมายเลข 4032



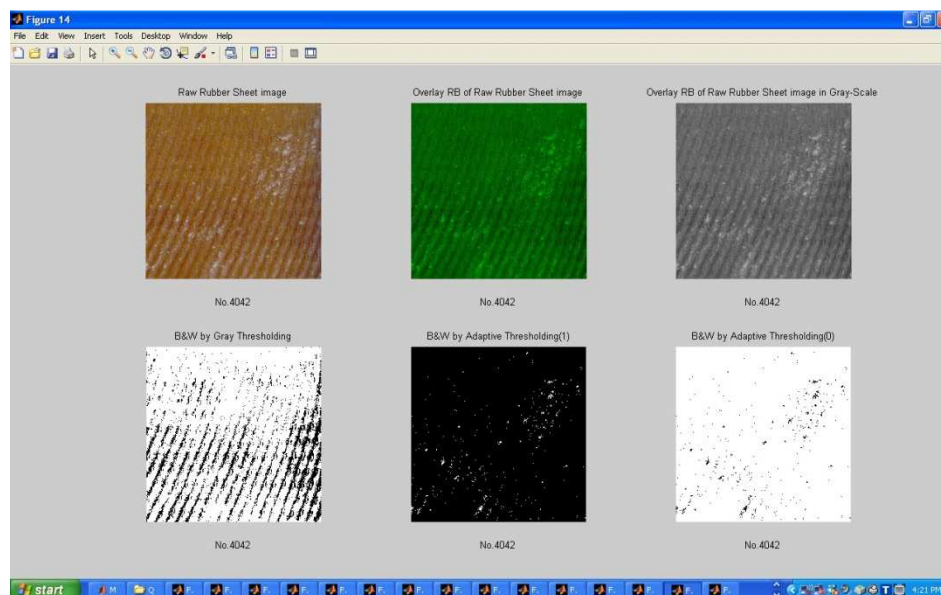
ภาพที่ ค.11 ผลการทดสอบการประมวลผลองค์ประกอบภาพ RB เทียบกับภาพแผ่นยางดิบ หมายเลข 4033



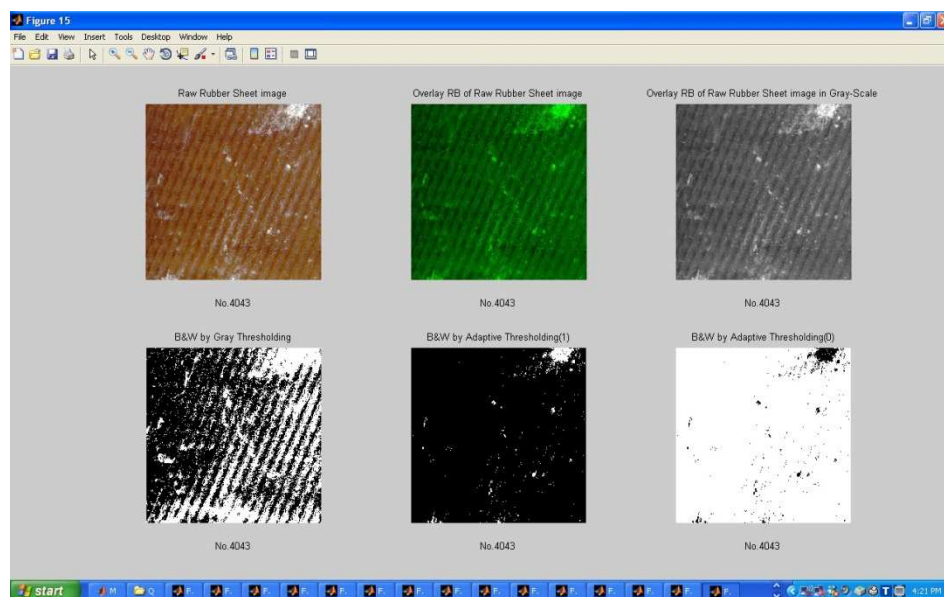
ภาพที่ ค.12 ผลการทดสอบการประมวลผลองค์ประกอบภาพ RB เทียบกับภาพแผ่นยางดิบ
หมายเลข 4034



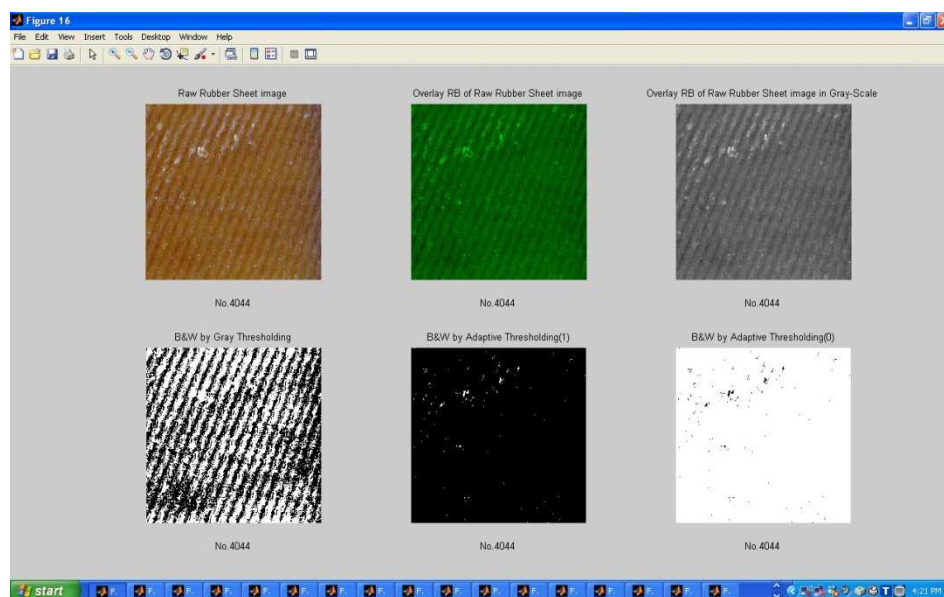
ภาพที่ ค.13 ผลการทดสอบการประมวลผลองค์ประกอบภาพ RB เทียบกับภาพแผ่นยางดิบ
หมายเลข 4041



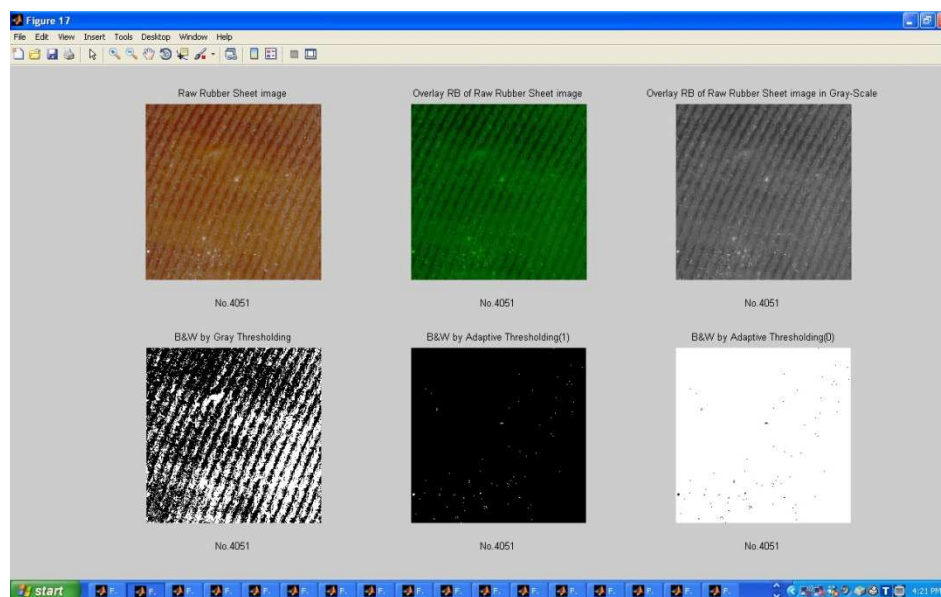
ภาพที่ ค.14 ผลการทดสอบการประมวลผลองค์ประกอบภาพ RB เทียบกับภาพแผ่นยางดิบ
หมายเลข 4042



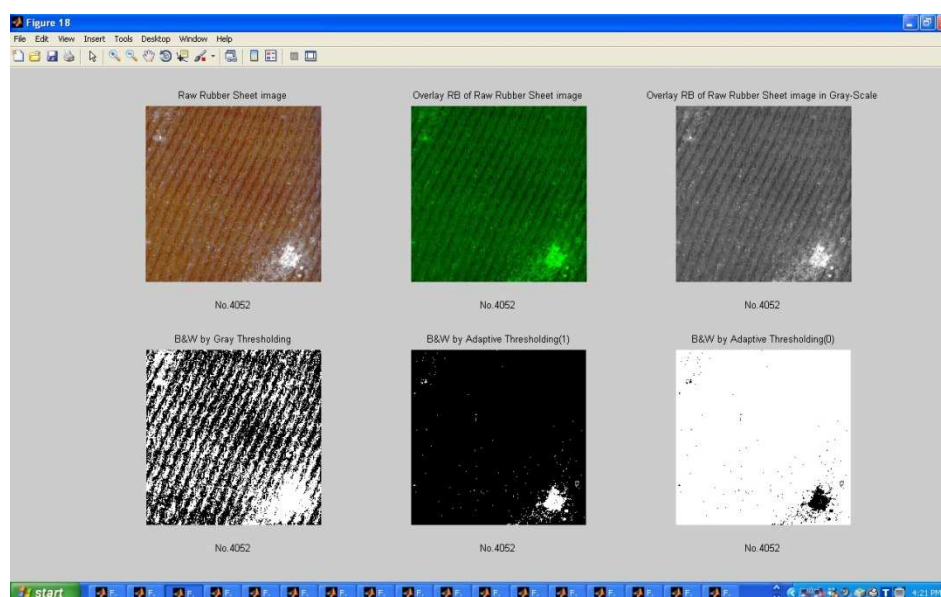
ภาพที่ ค.15 ผลการทดสอบการประมวลผลองค์ประกอบภาพ RB เทียบกับภาพแผ่นยางดิบ หมายเลข 4043



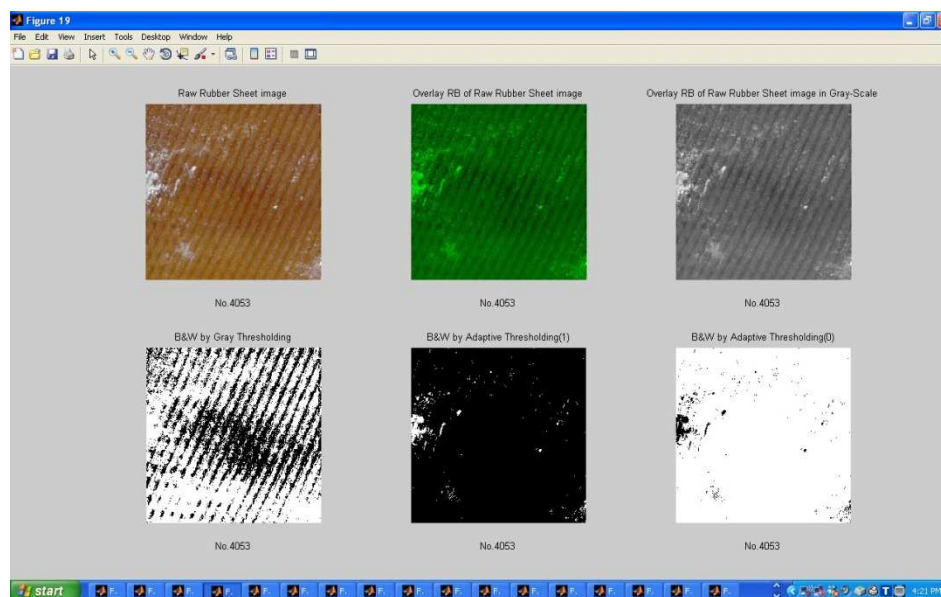
ภาพที่ ค.16 ผลการทดสอบการประมวลผลองค์ประกอบภาพ RB เทียบกับภาพแผ่นยางดิบ หมายเลข 4044



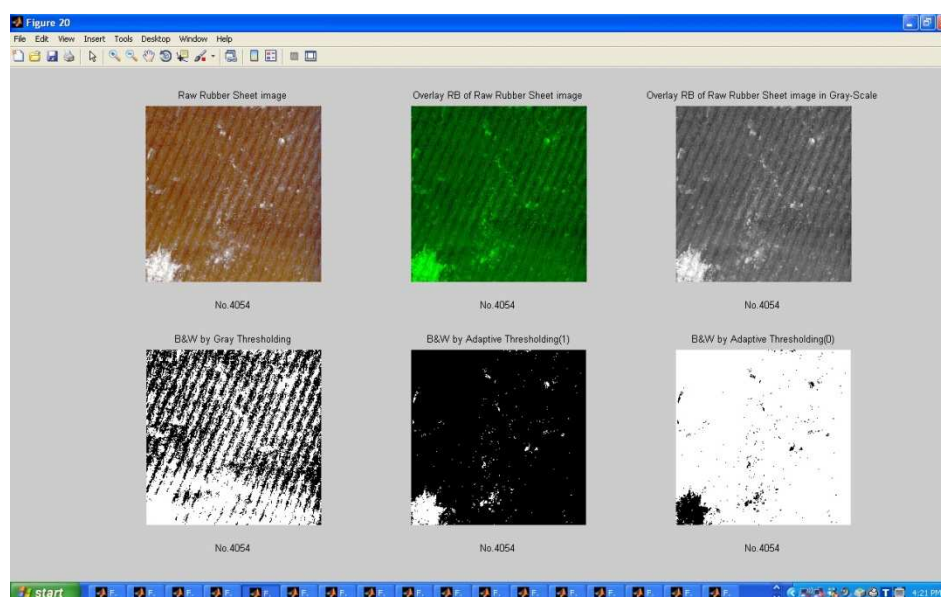
ภาพที่ ค.17 ผลการทดสอบการประมวลผลองค์ประกอบภาพ RB เทียบกับภาพแผ่นยางดิบ หมายเลข 4051



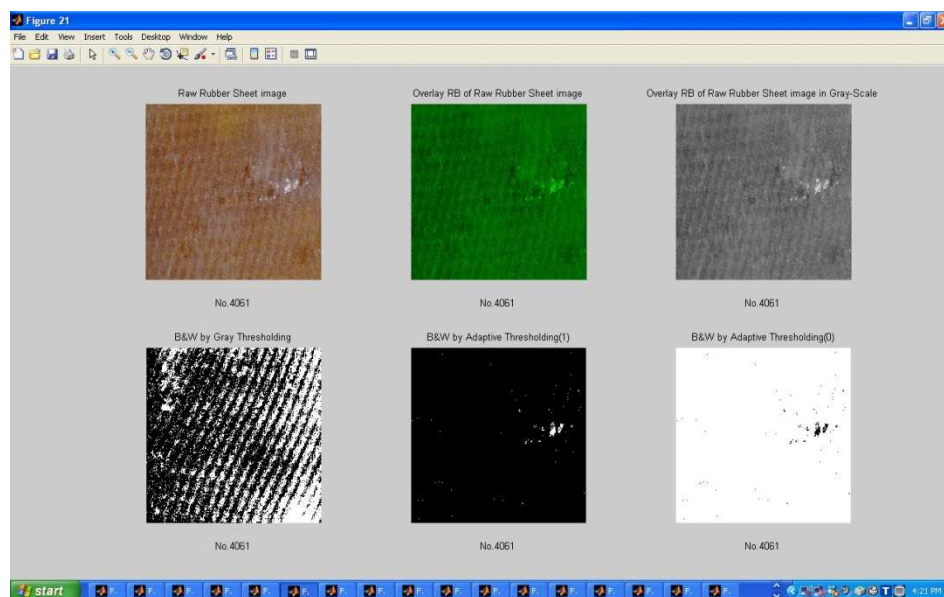
ภาพที่ ค.18 ผลการทดสอบการประมวลผลองค์ประกอบภาพ RB เทียบกับภาพแผ่นยางดิบ หมายเลข 4052



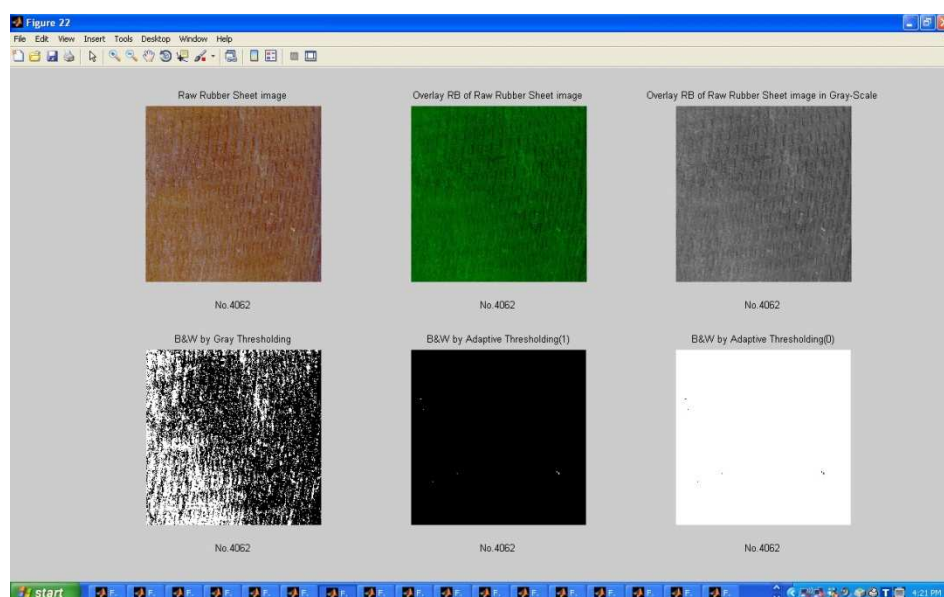
ภาพที่ ค.19 ผลการทดสอบการประมวลผลองค์ประกอบภาพ RB เทียบกับภาพแผ่นยางดิบ หมายเลข 4053



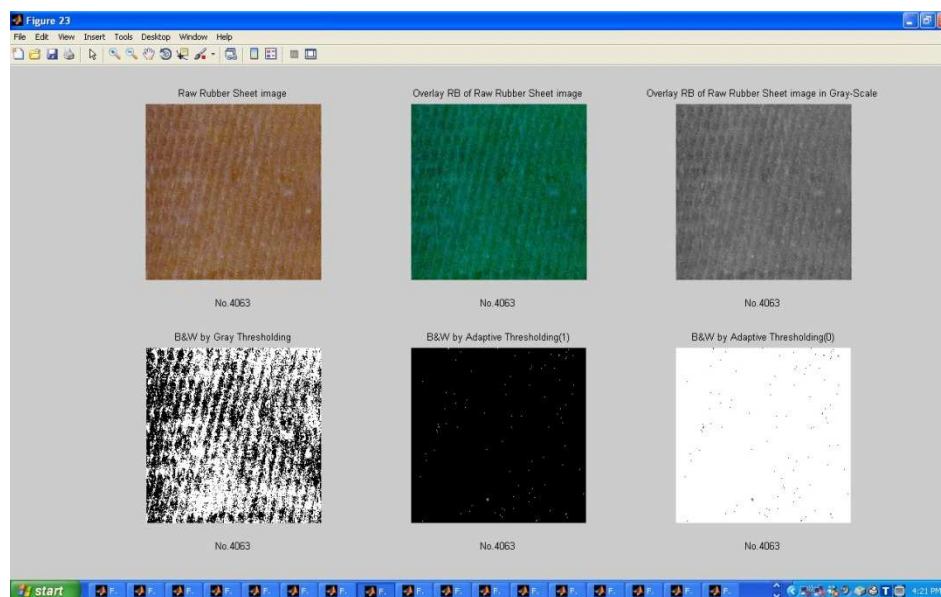
ภาพที่ ค.20 ผลการทดสอบการประมวลผลองค์ประกอบภาพ RB เทียบกับภาพแผ่นยางดิบ หมายเลข 4054



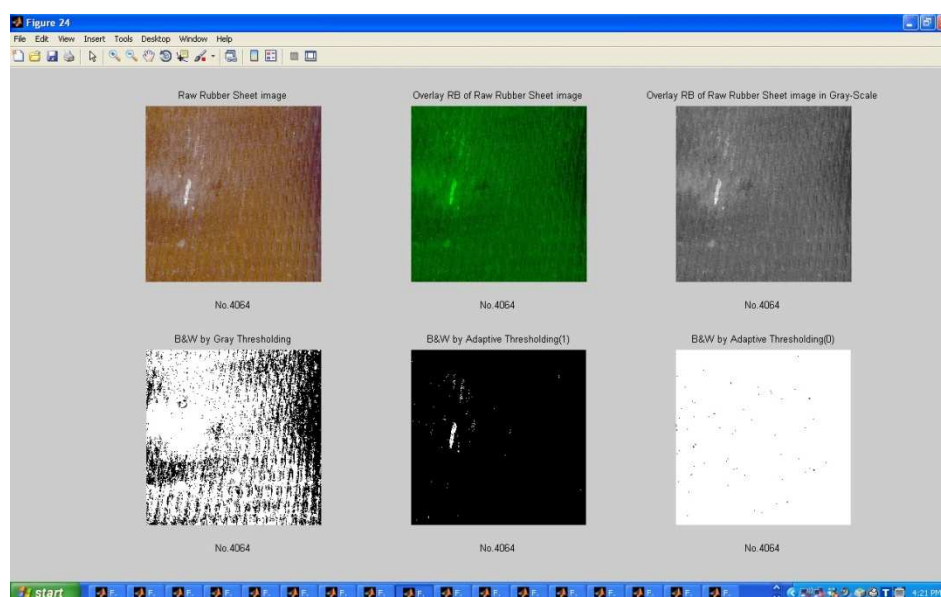
ภาพที่ ค.21 ผลการทดสอบการประมวลผลองค์ประกอบภาพ RB เทียบกับภาพแผ่นยางดิบ หมายเลข 4061



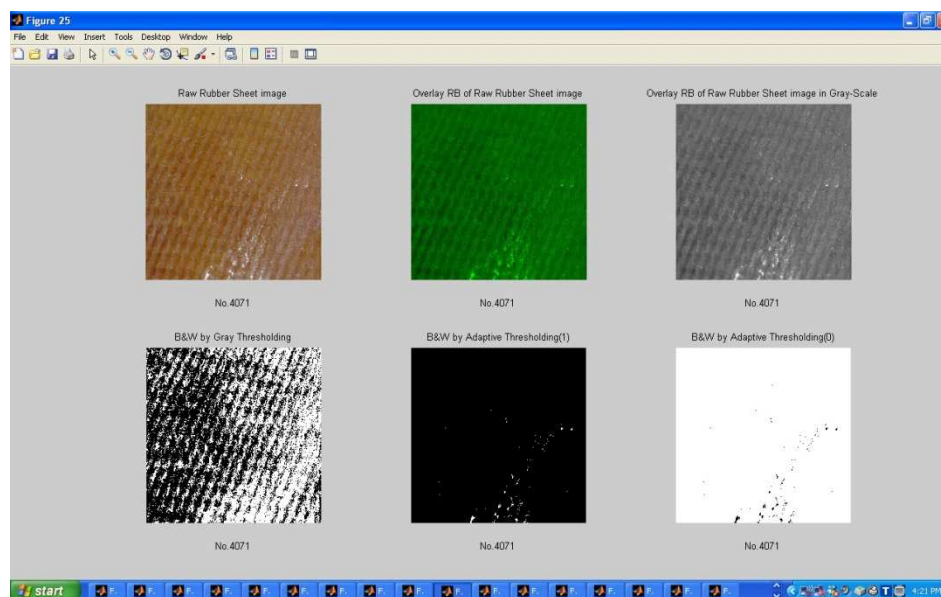
ภาพที่ ค.22 ผลการทดสอบการประมวลผลองค์ประกอบภาพ RB เทียบกับภาพแผ่นยางดิบ หมายเลข 4062



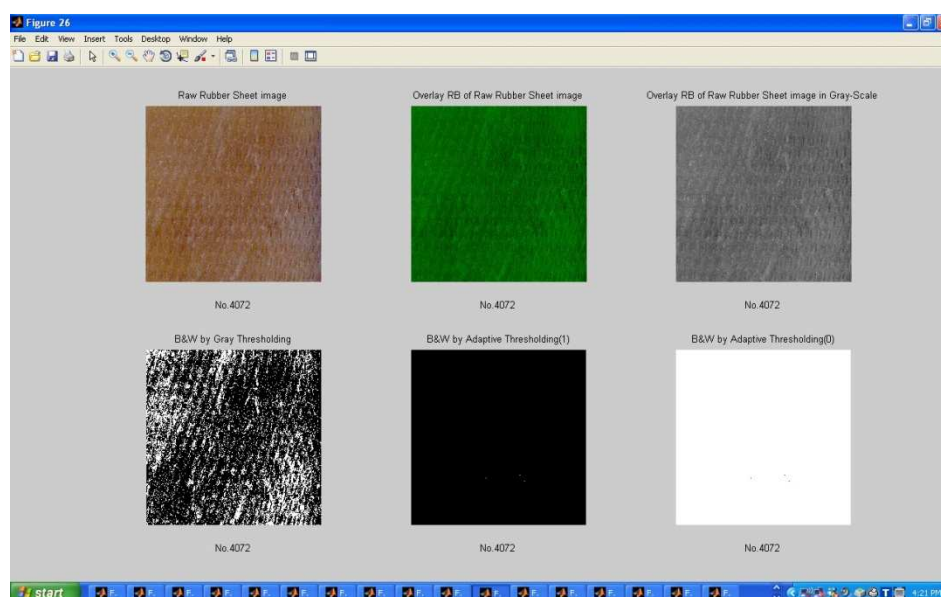
ภาพที่ ค.23 ผลการทดสอบการประมวลผลองค์ประกอบภาพ RB เทียบกับภาพแผ่นยางดิบ หมายเลข 4063



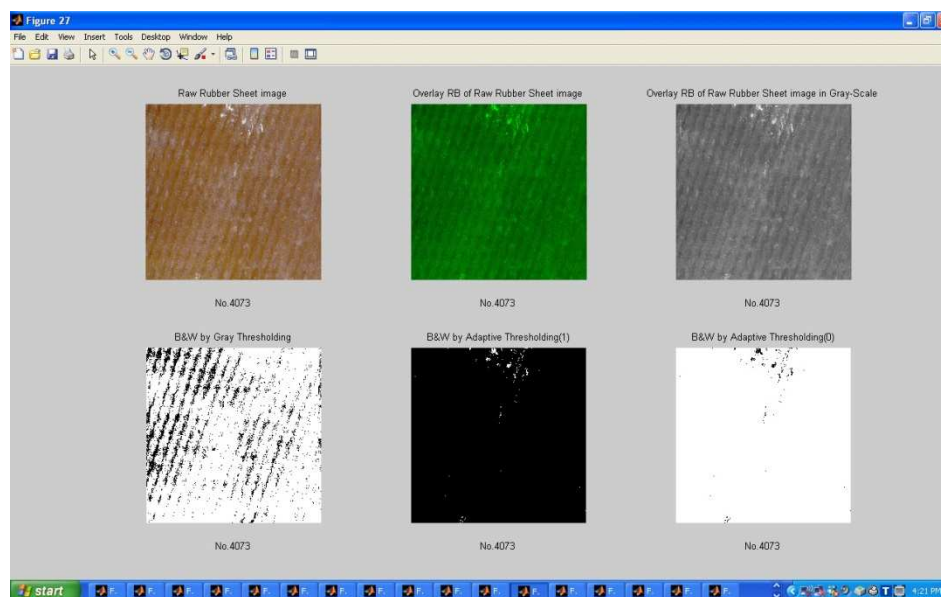
ภาพที่ ค.24 ผลการทดสอบการประมวลผลองค์ประกอบภาพ RB เทียบกับภาพแผ่นยางดิบ หมายเลข 4064



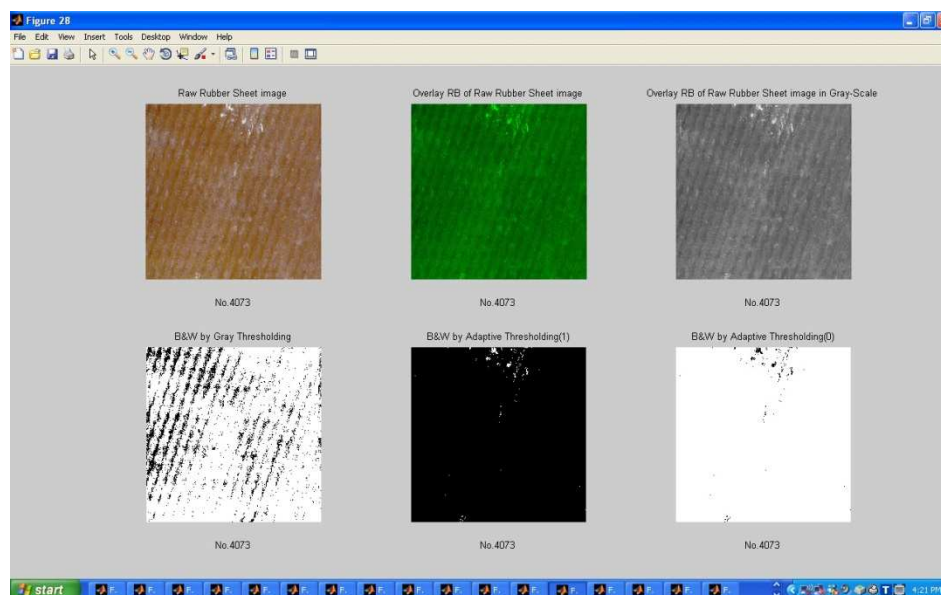
ภาพที่ ค.25 ผลการทดสอบการประมวลผลองค์ประกอบภาพ RB เทียบกับภาพแผ่นยางดิบ หมายเลข 4071



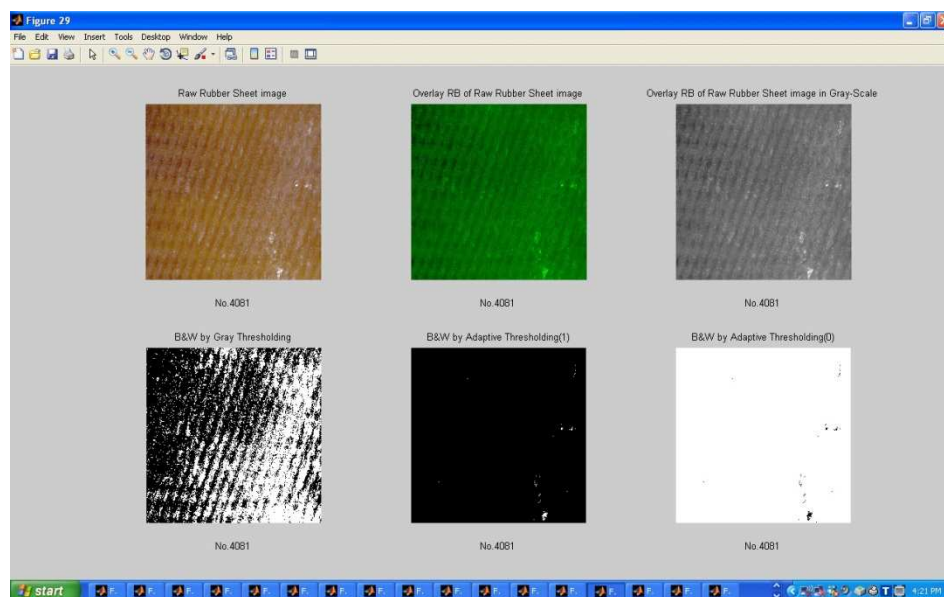
ภาพที่ ค.26 ผลการทดสอบการประมวลผลองค์ประกอบภาพ RB เทียบกับภาพแผ่นยางดิบ หมายเลข 4072



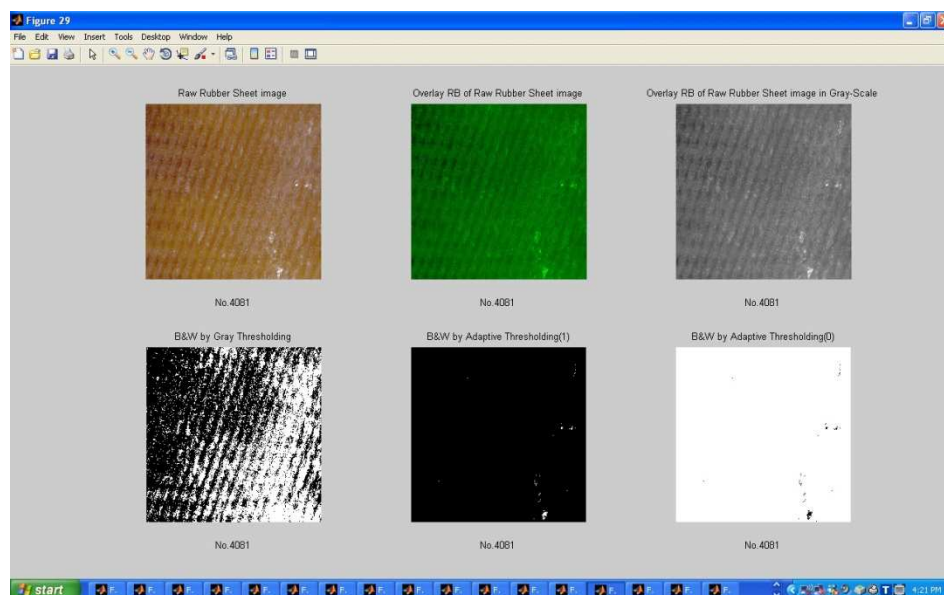
ภาพที่ ค.27 ผลการทดสอบการประมวลผลองค์ประกอบภาพ RB เทียบกับภาพแผ่นยางดิบ หมายเลข 4073



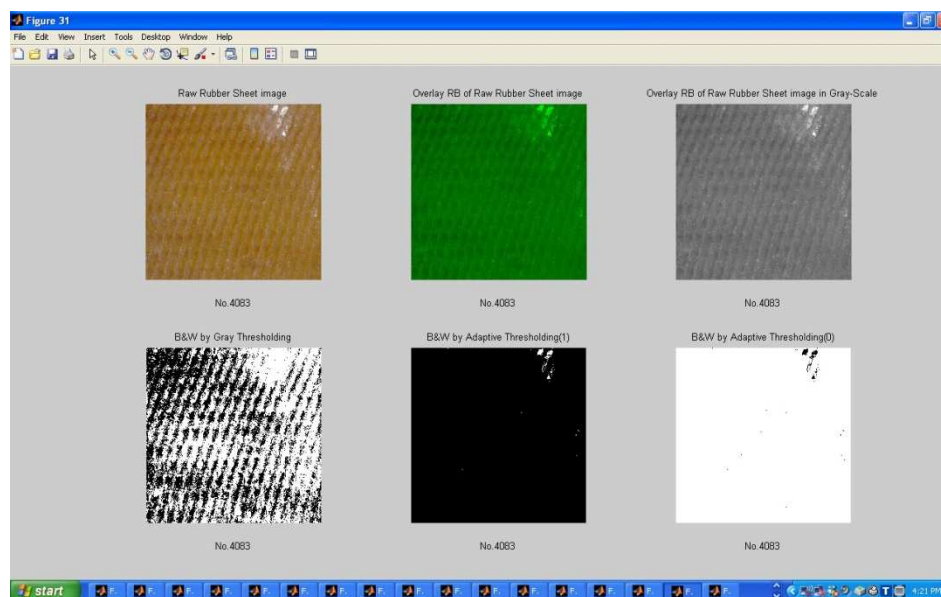
ภาพที่ ค.28 ผลการทดสอบการประมวลผลองค์ประกอบภาพ RB เทียบกับภาพแผ่นยางดิบ หมายเลข 4074



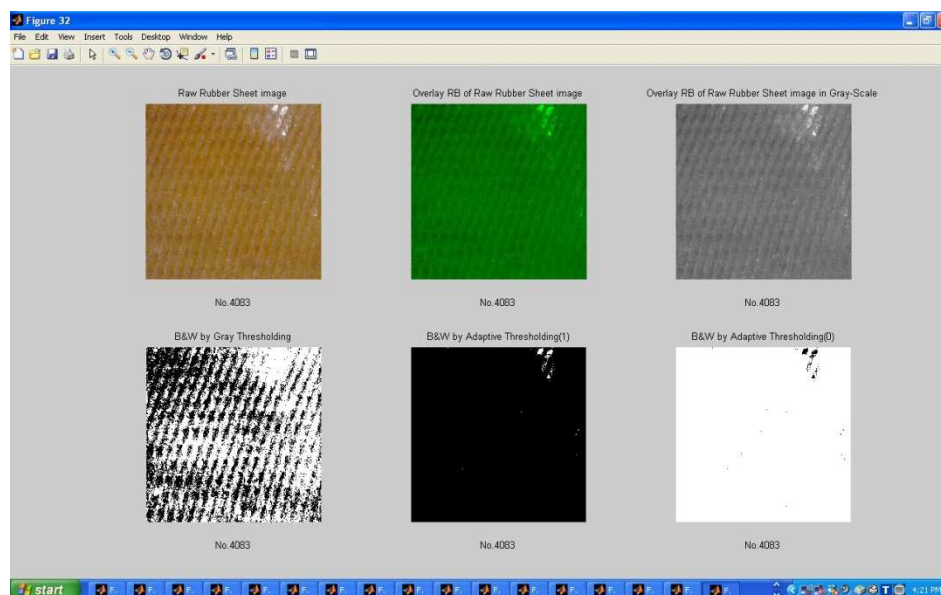
ภาพที่ ค.29 ผลการทดสอบการประมวลผลองค์ประกอบภาพ RB เทียบกับภาพแผ่นยางดิบ หมายเลข 4081



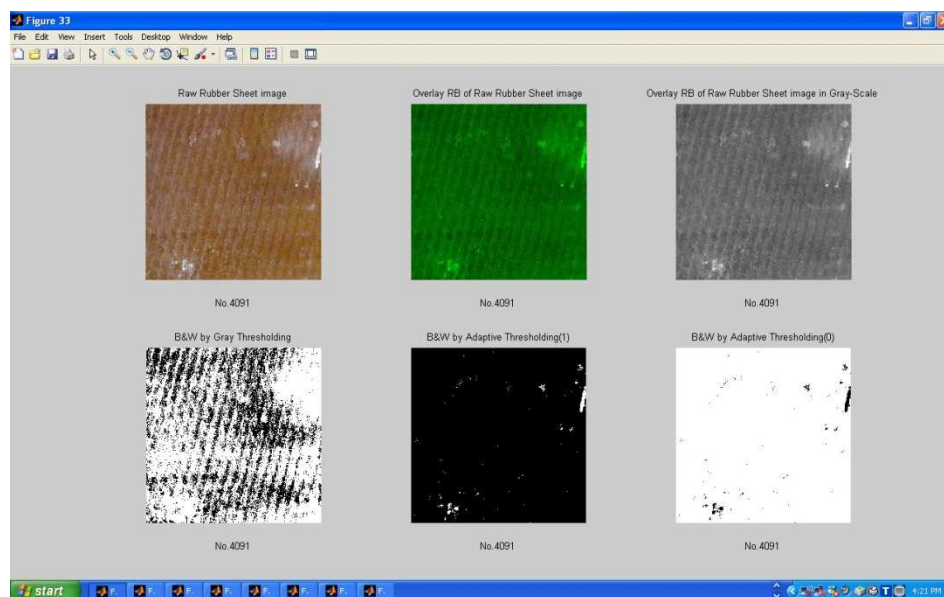
ภาพที่ ค.30 ผลการทดสอบการประมวลผลองค์ประกอบภาพ RB เทียบกับภาพแผ่นยางดิบ หมายเลข 4082



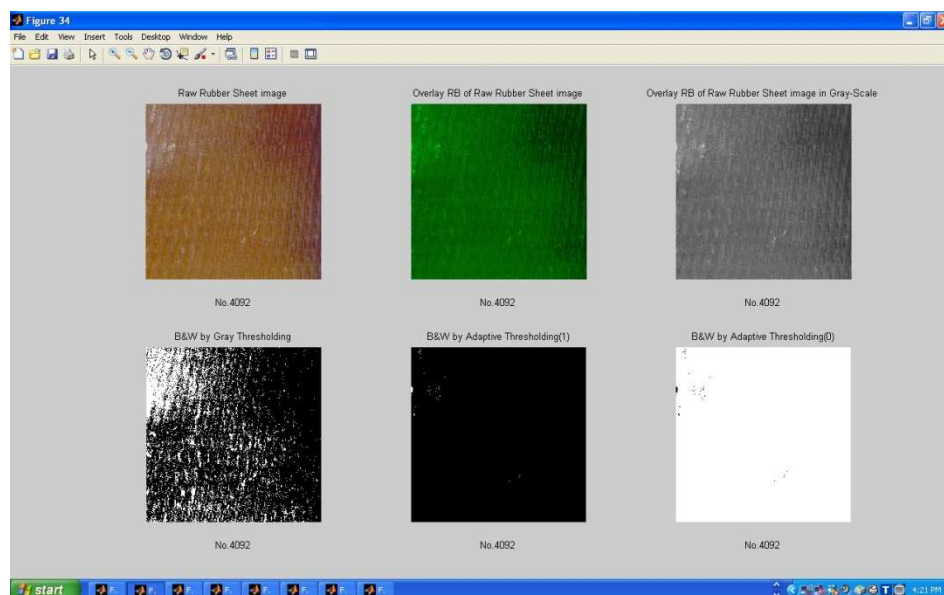
ภาพที่ ค.31 ผลการทดสอบการประมวลผลองค์ประกอบภาพ RB เทียบกับภาพแผ่นยางดิบ หมายเลข 4083



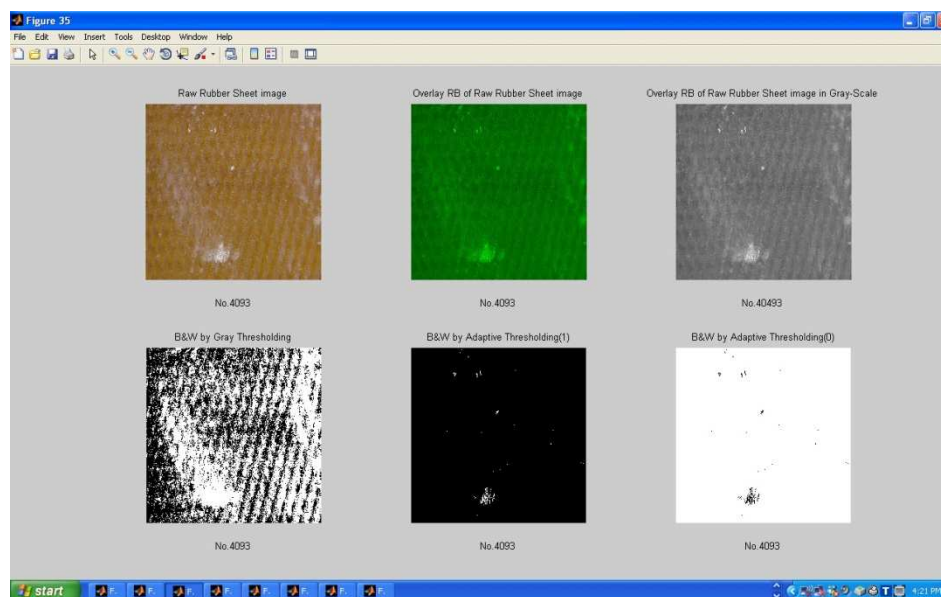
ภาพที่ ค.32 ผลการทดสอบการประมวลผลองค์ประกอบภาพ RB เทียบกับภาพแผ่นยางดิบ หมายเลข 4084



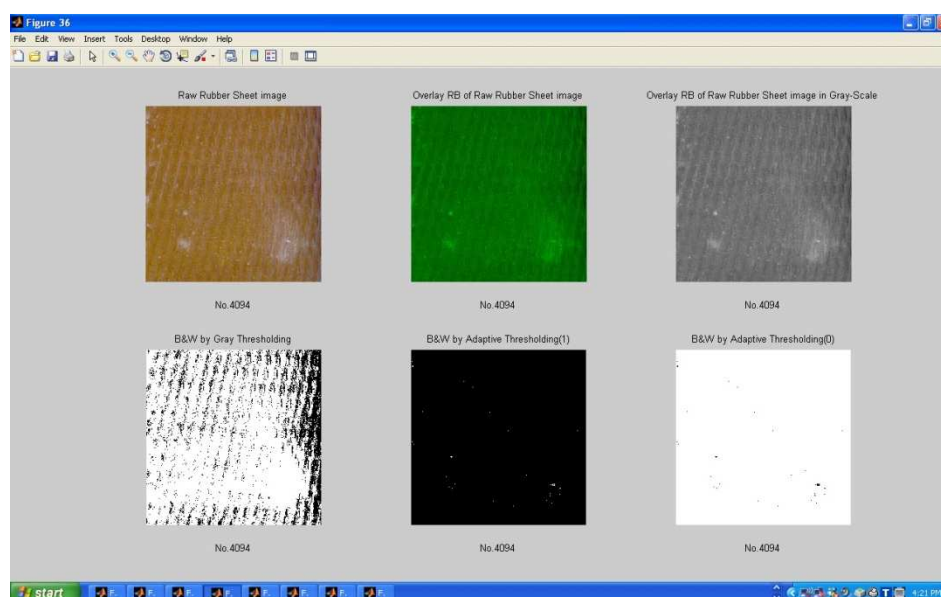
ภาพที่ ค.33 ผลการทดสอบการประมวลผลองค์ประกอบภาพ RB เทียบกับภาพแผ่นยางดิบ หมายเลข 4091



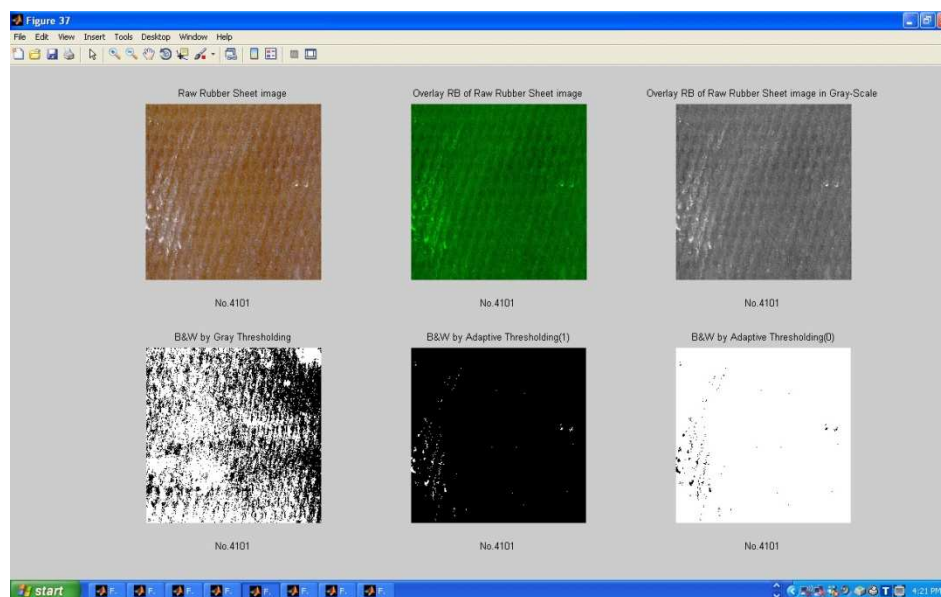
ภาพที่ ค.34 ผลการทดสอบการประมวลผลองค์ประกอบภาพ RB เทียบกับภาพแผ่นยางดิบ หมายเลข 4092



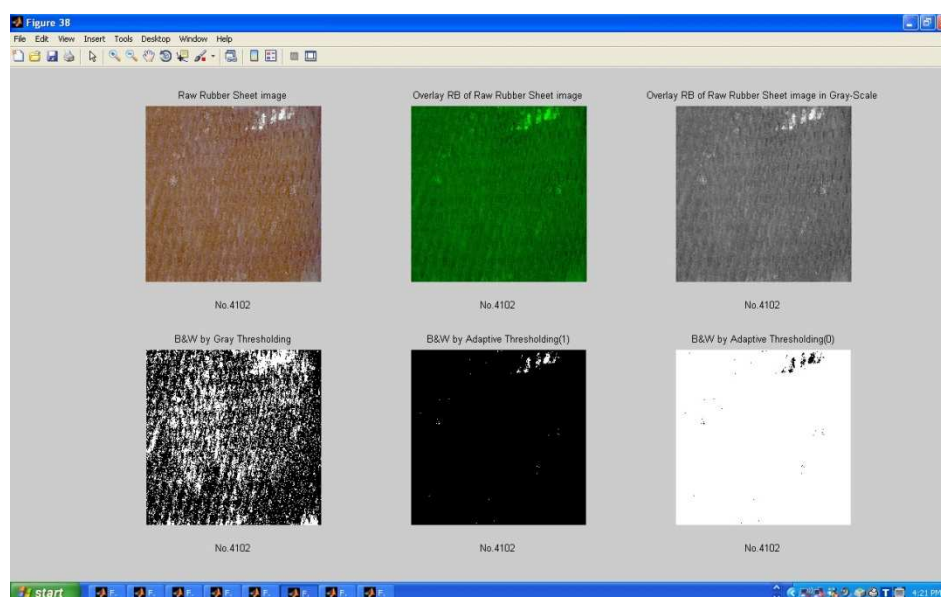
ภาพที่ ค.35 ผลการทดสอบการประมวลผลองค์ประกอบภาพ RB เทียบกับภาพแผ่นยางดิบ หมายเลข 4093



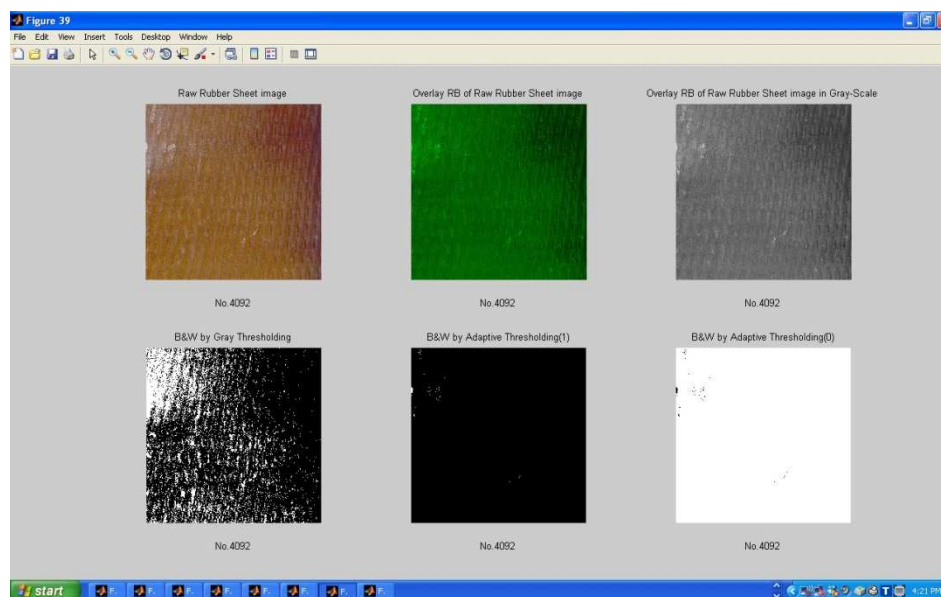
ภาพที่ ค.36 ผลการทดสอบการประมวลผลองค์ประกอบภาพ RB เทียบกับภาพแผ่นยางดิบ หมายเลข 4094



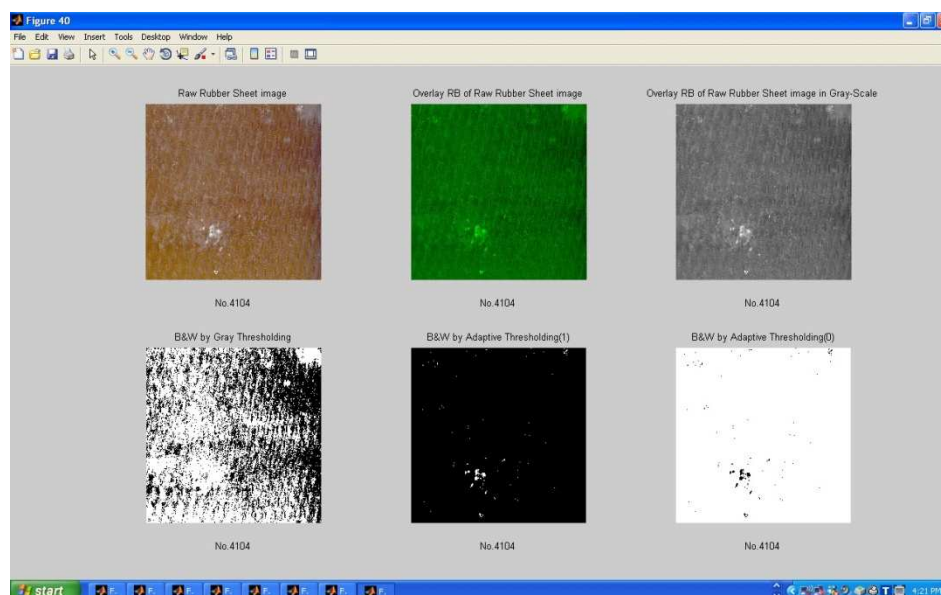
ภาพที่ ค.37 ผลการทดสอบการประมวลผลองค์ประกอบภาพ RB เทียบกับภาพแผ่นยางดิบ หมายเลข 4101



ภาพที่ ค.38 ผลการทดสอบการประมวลผลองค์ประกอบภาพ RB เทียบกับภาพแผ่นยางดิบ หมายเลข 4102



ภาพที่ ค.39 ผลการทดสอบการประมวลผลองค์ประกอบภาพ RB เทียบกับภาพแผ่นยางดิบ หมายเลข 4103

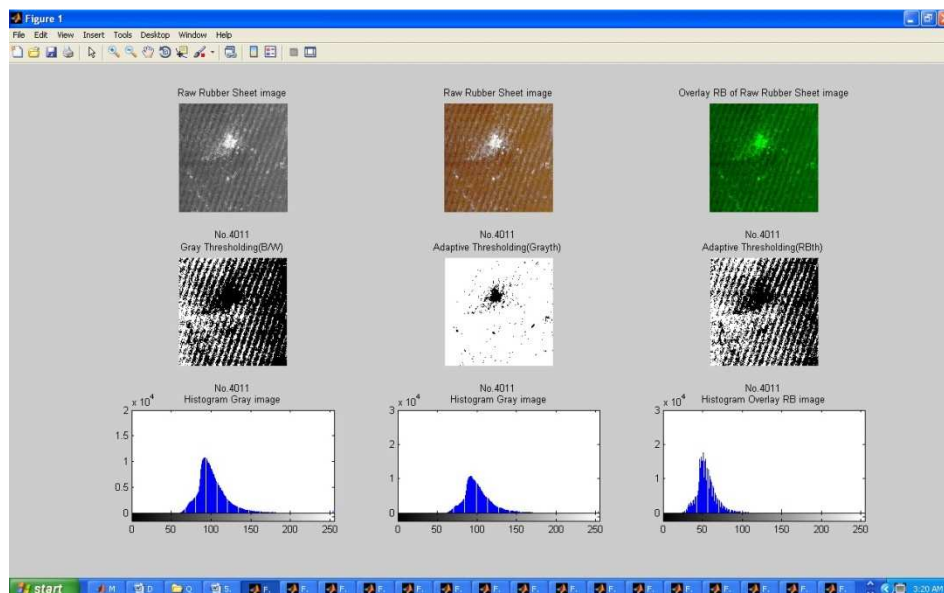


ภาพที่ ค.40 ผลการทดสอบการประมวลผลองค์ประกอบภาพ RB เทียบกับภาพแผ่นยางดิบ หมายเลข 4104

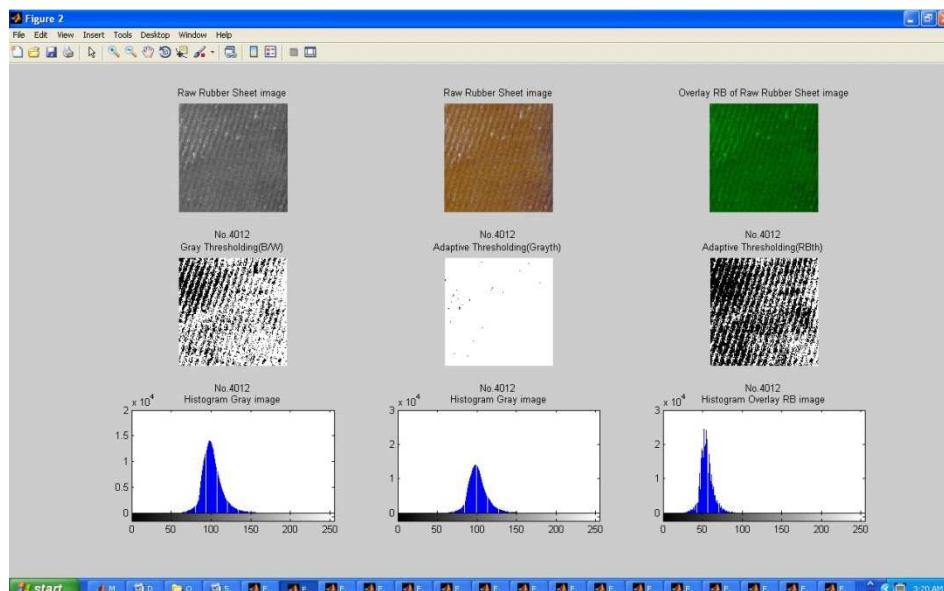
ภาคผนวก ง

ชุดภาพประกอบการวิเคราะห์ภาพผลลัพธ์

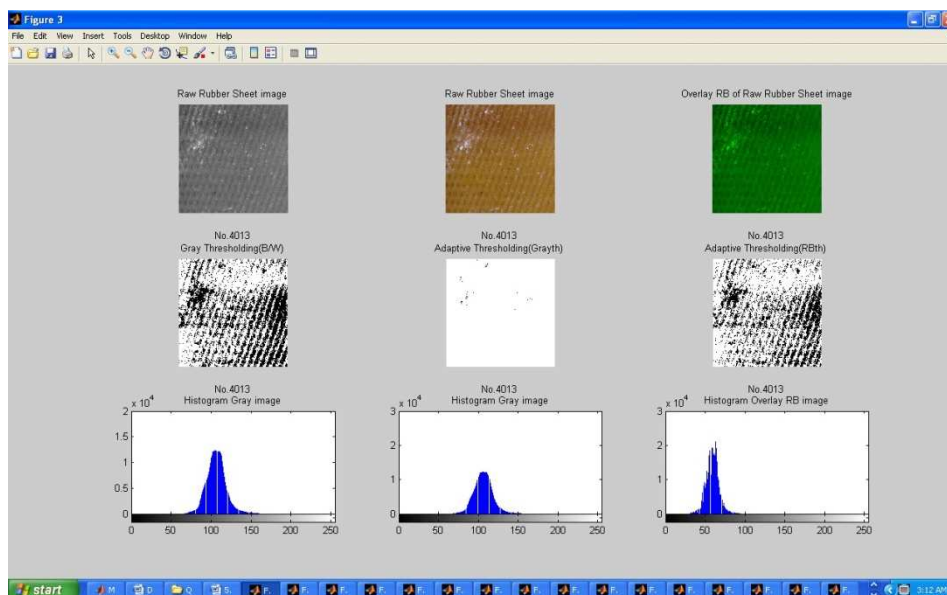
ผลการวิเคราะห์ภาพผลลัพท์ใช้เทคนิคค่าเกณฑ์แบบปรับตัวที่นำเสนอ



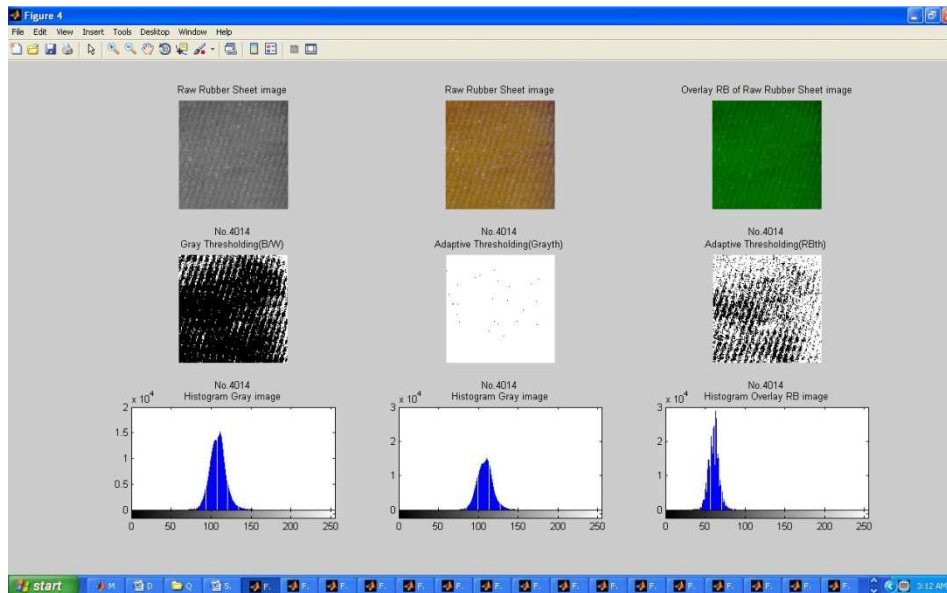
ภาพที่ ง.1 ผลการวิเคราะห์ภาพผลลัพท์ใช้เทคนิคค่าเกณฑ์แบบปรับตัวที่นำเสนอของภาพหมายเลข 4011



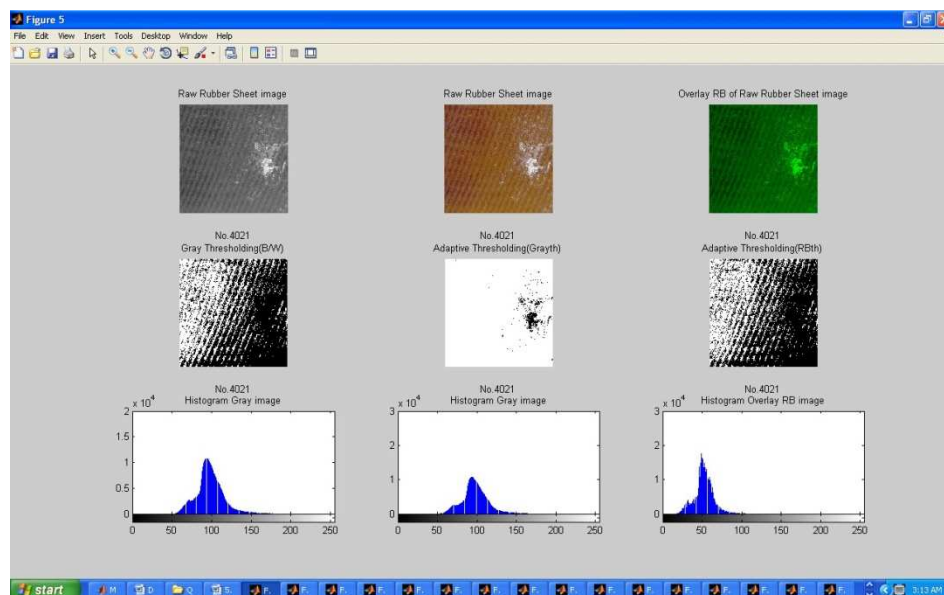
ภาพที่ ง.2 ผลการวิเคราะห์ภาพผลลัพท์ใช้เทคนิคค่าเกณฑ์แบบปรับตัวที่นำเสนอของภาพหมายเลข 4012



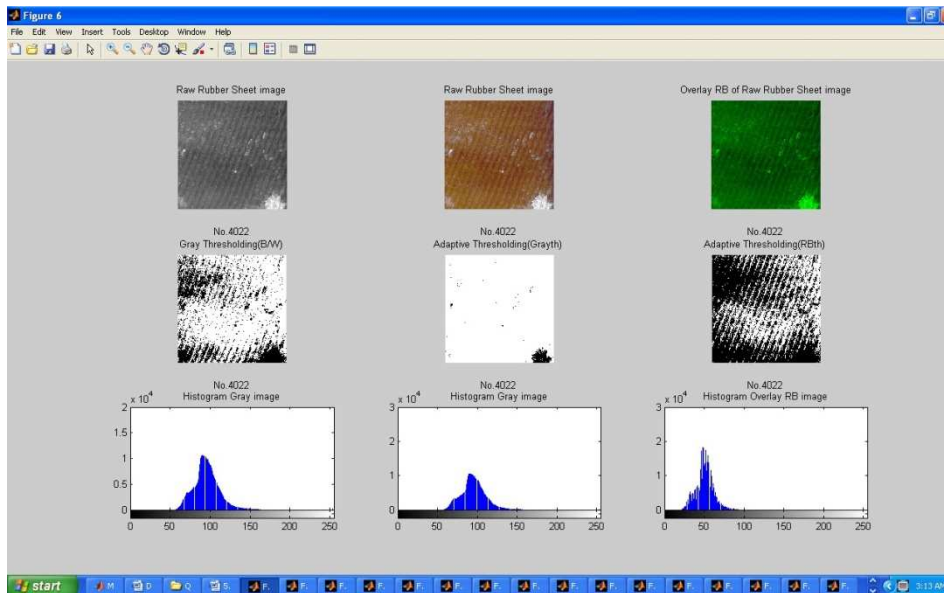
ภาพที่ ๓.3 ผลการวิเคราะห์ภาพผลลัพท์ใช้เทคนิคค่าเกณฑ์แบบปรับตัวที่นำเสนอของภาพหมายเลข 4013



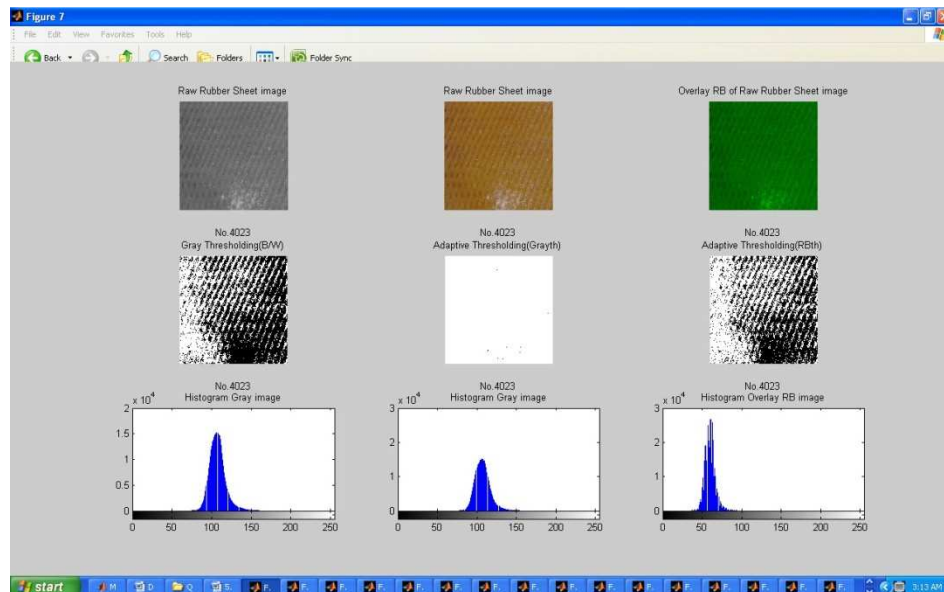
ภาพที่ ๓.4 ผลการวิเคราะห์ภาพผลลัพท์ใช้เทคนิคค่าเกณฑ์แบบปรับตัวที่นำเสนอของภาพหมายเลข 4014



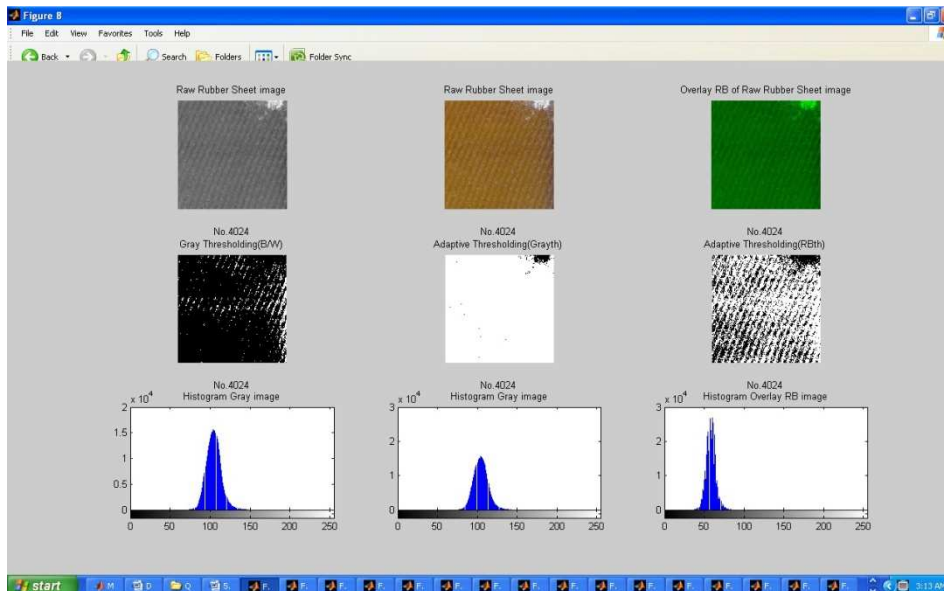
ภาพที่ ๖.5 ผลการวิเคราะห์ภาพผลลัพธ์ใช้เทคนิคค่าเกณฑ์แบบปรับตัวที่นำเสนอของภาพหมายเลข 4021



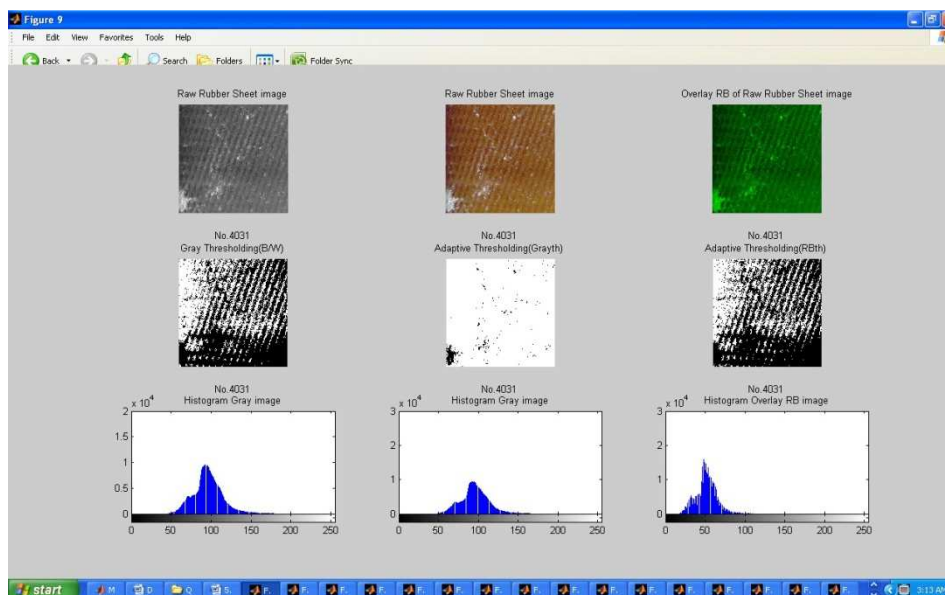
ภาพที่ ๖.6 ผลการวิเคราะห์ภาพผลลัพธ์ใช้เทคนิคค่าเกณฑ์แบบปรับตัวที่นำเสนอของภาพหมายเลข 4022



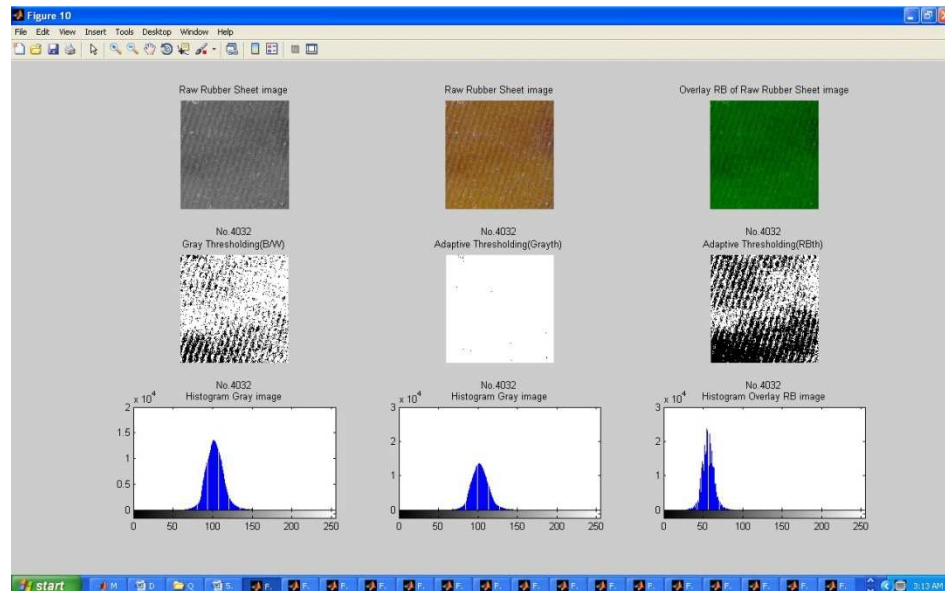
ภาพที่ ๗.7 ผลการวิเคราะห์ภาพผลลัพธ์ใช้เทคนิคค่าเกณฑ์แบบปรับตัวที่นำเสนอของภาพหมายเลข 4023



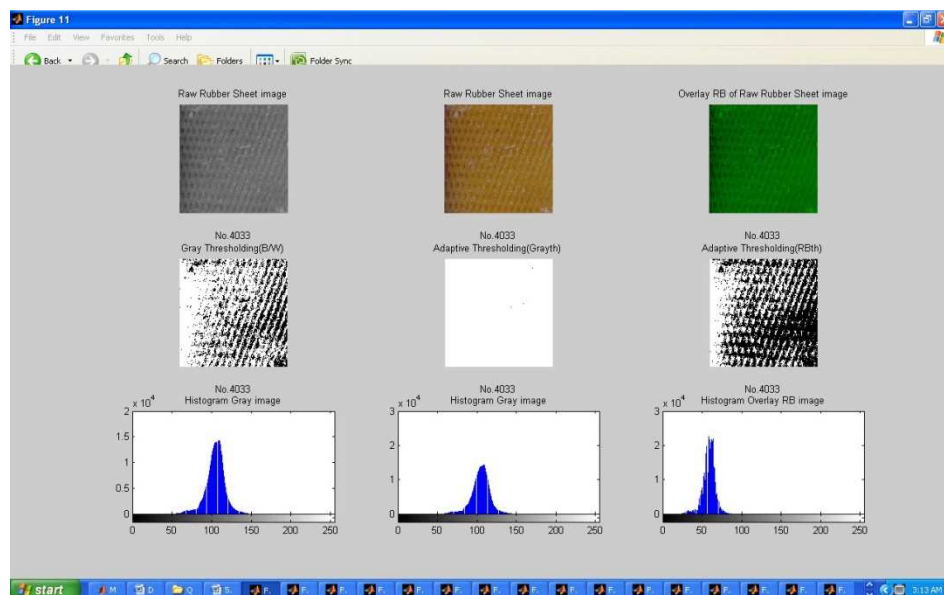
ภาพที่ ๗.8 ผลการวิเคราะห์ภาพผลลัพธ์ใช้เทคนิคค่าเกณฑ์แบบปรับตัวที่นำเสนอของภาพหมายเลข 4024



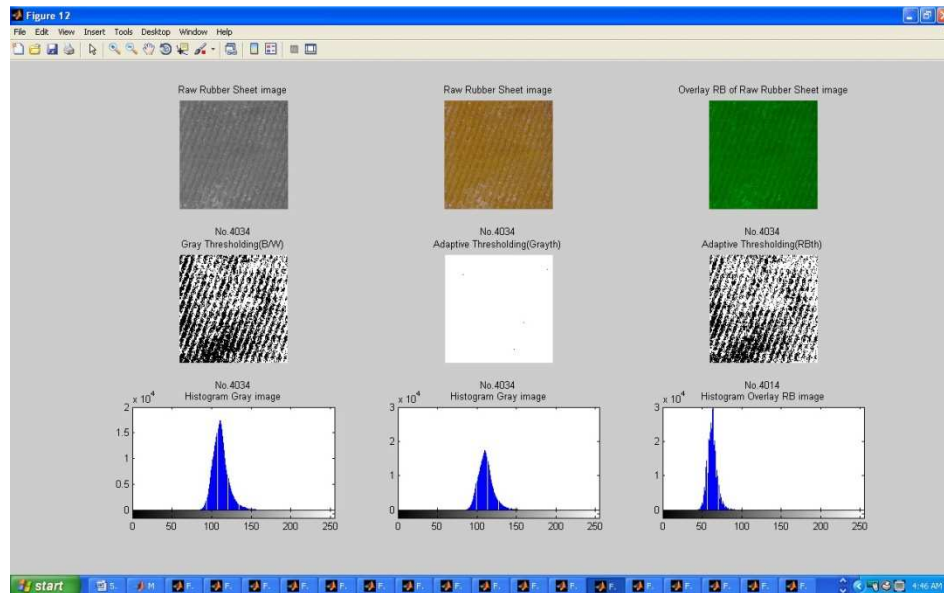
ภาพที่ ง.9 ผลการวิเคราะห์ภาพผลลัพธ์ใช้เทคนิคค่าเกณฑ์แบบปรับตัวที่นำเสนอของภาพหมายเลข 4031



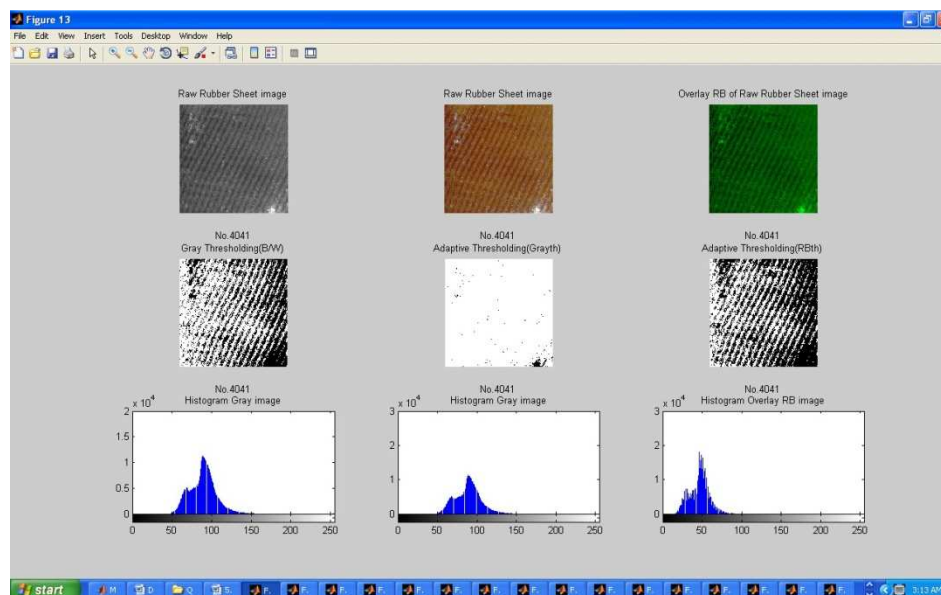
ภาพที่ ง.10 ผลการวิเคราะห์ภาพผลลัพธ์ใช้เทคนิคค่าเกณฑ์แบบปรับตัวที่นำเสนอของภาพหมายเลข 4032



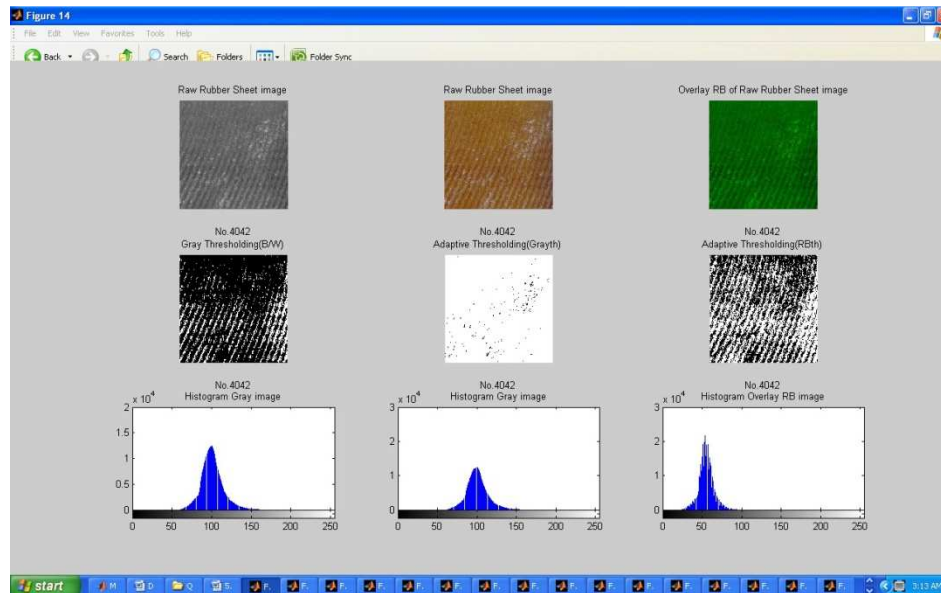
ภาพที่ ง.11 ผลการวิเคราะห์ภาพผลลัพธ์ใช้เทคนิคค่าเกณฑ์แบบปรับตัวที่นำเสนอของภาพหมายเลข 4033



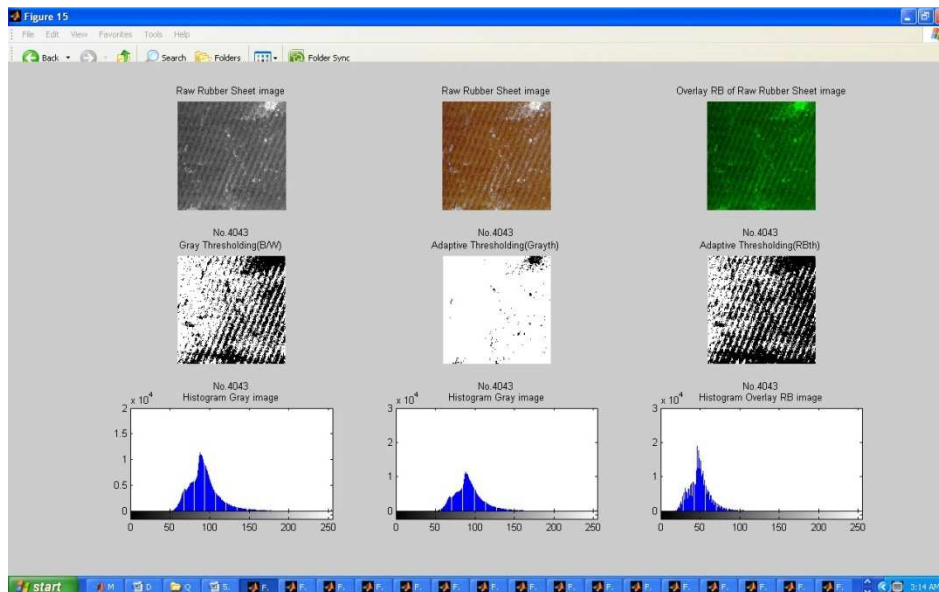
ภาพที่ ง.12 ผลการวิเคราะห์ภาพผลลัพธ์ใช้เทคนิคค่าเกณฑ์แบบปรับตัวที่นำเสนอของภาพหมายเลข 4034



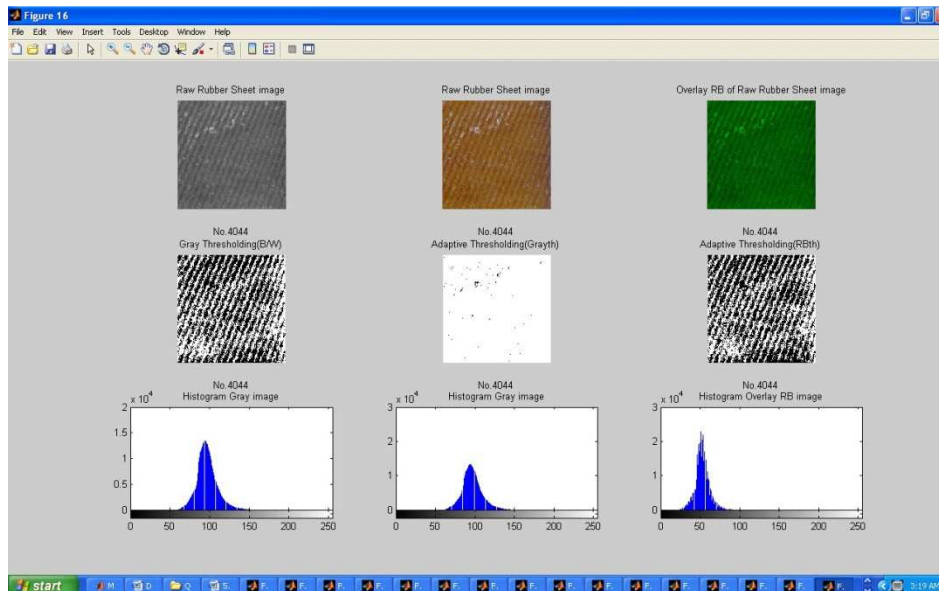
ภาพที่ ง.13 ผลการวิเคราะห์ภาพผลลัพท์ใช้เทคนิคค่าเกณฑ์แบบปรับตัวที่นำเสนอของภาพหมายเลข 4041



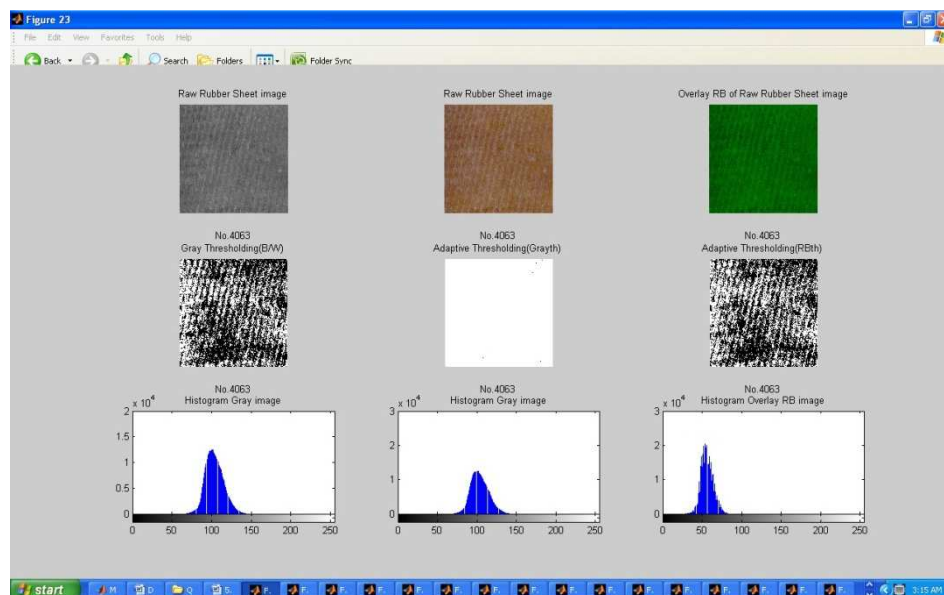
ภาพที่ ง.14 ผลการวิเคราะห์ภาพผลลัพท์ใช้เทคนิคค่าเกณฑ์แบบปรับตัวที่นำเสนอของภาพหมายเลข 4042



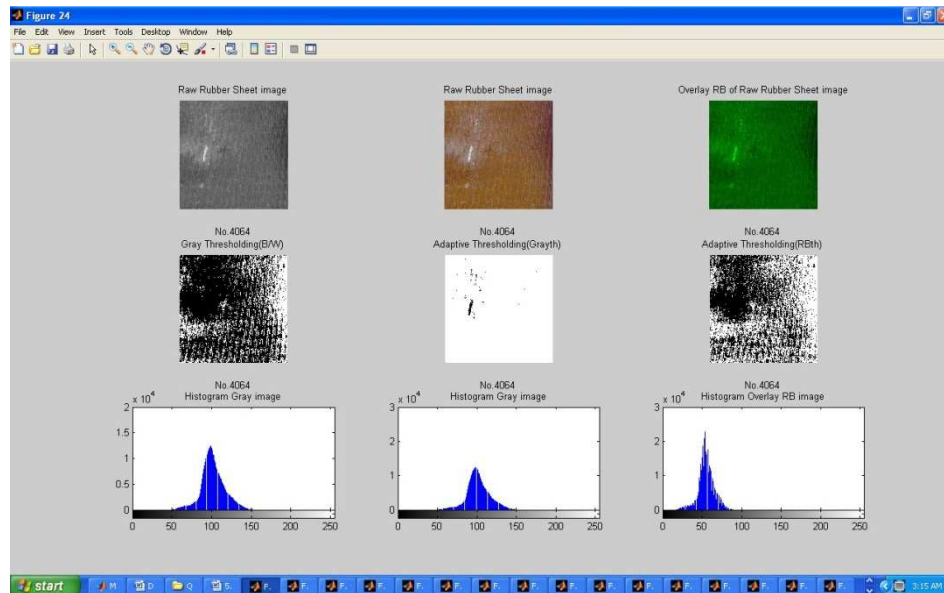
ภาพที่ ง.15 ผลการวิเคราะห์ภาพผลลัพธ์ใช้เทคนิคค่าเกณฑ์แบบปรับตัวที่นำเสนอของภาพหมายเลข 4043



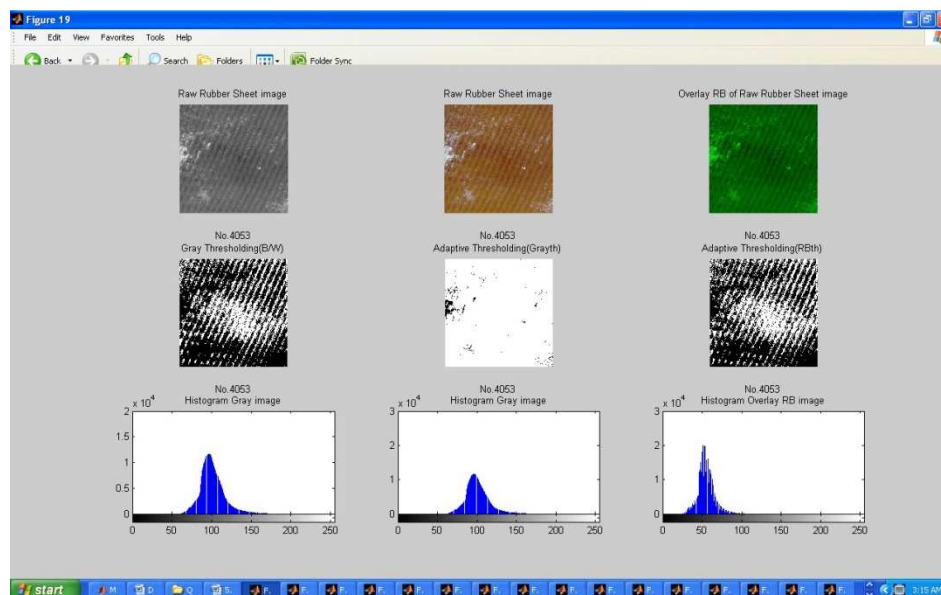
ภาพที่ ง.16 ผลการวิเคราะห์ภาพผลลัพธ์ใช้เทคนิคค่าเกณฑ์แบบปรับตัวที่นำเสนอของภาพหมายเลข 4044



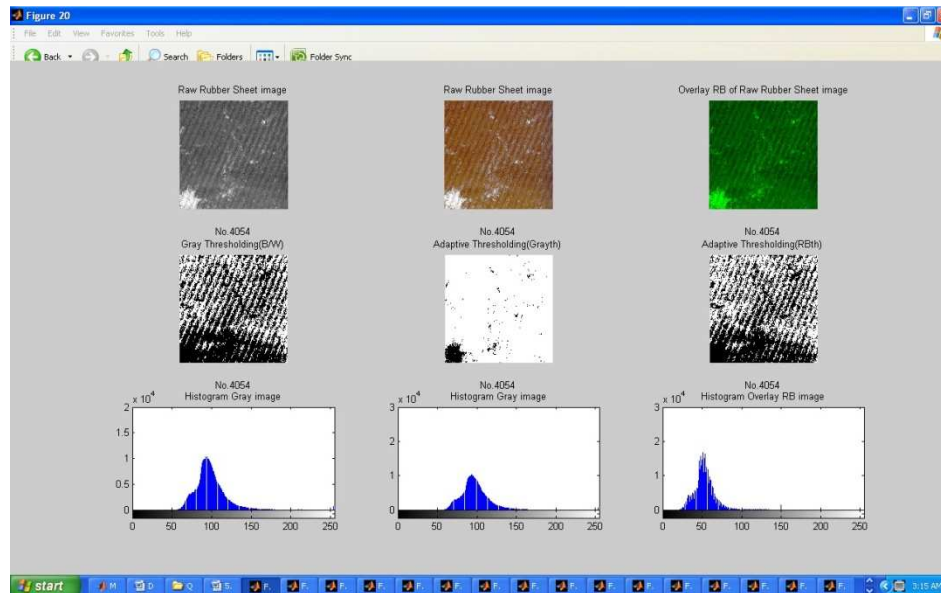
ภาพที่ ง.17 ผลการวิเคราะห์ภาพผลลัพธ์ใช้เทคนิคค่าเกณฑ์แบบปรับตัวที่นำเสนอของภาพ หมายเลข 4051



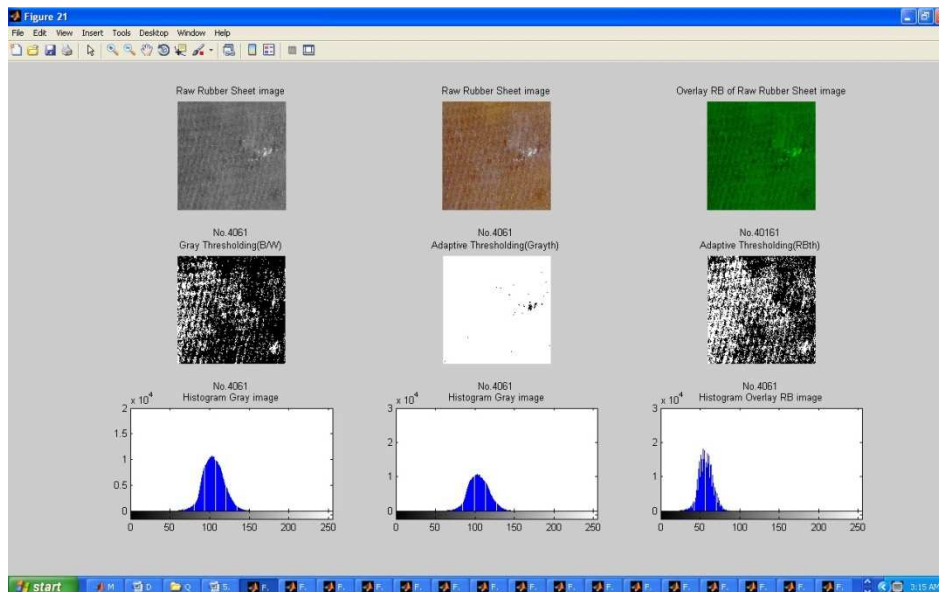
ภาพที่ ง.18 ผลการวิเคราะห์ภาพผลลัพธ์ใช้เทคนิคค่าเกณฑ์แบบปรับตัวที่นำเสนอของภาพ หมายเลข 4052



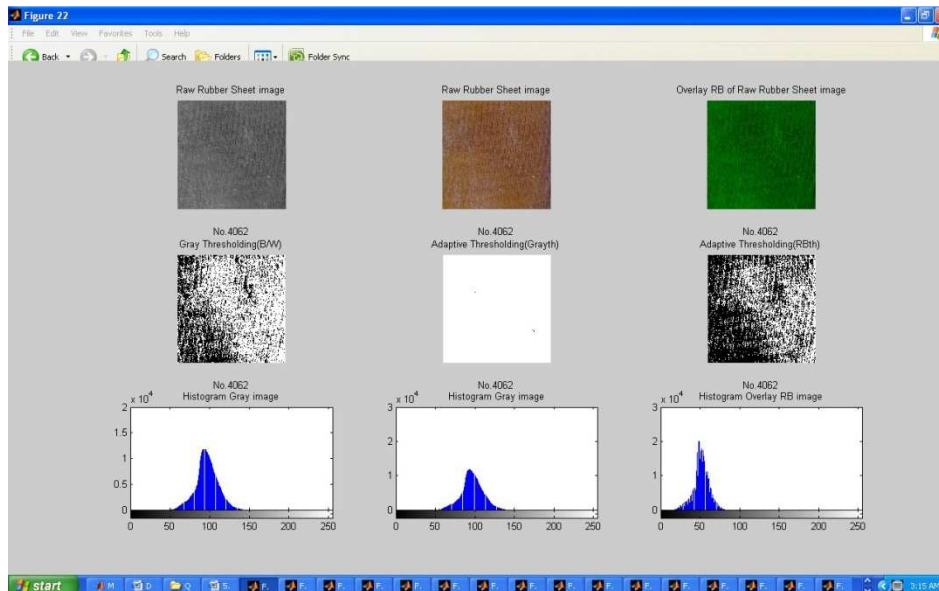
ภาพที่ ง.19 ผลการวิเคราะห์ภาพผลลัพธ์ใช้เทคนิคค่าเกณฑ์แบบปรับตัวที่นำเสนอของภาพหมายเลข 4053



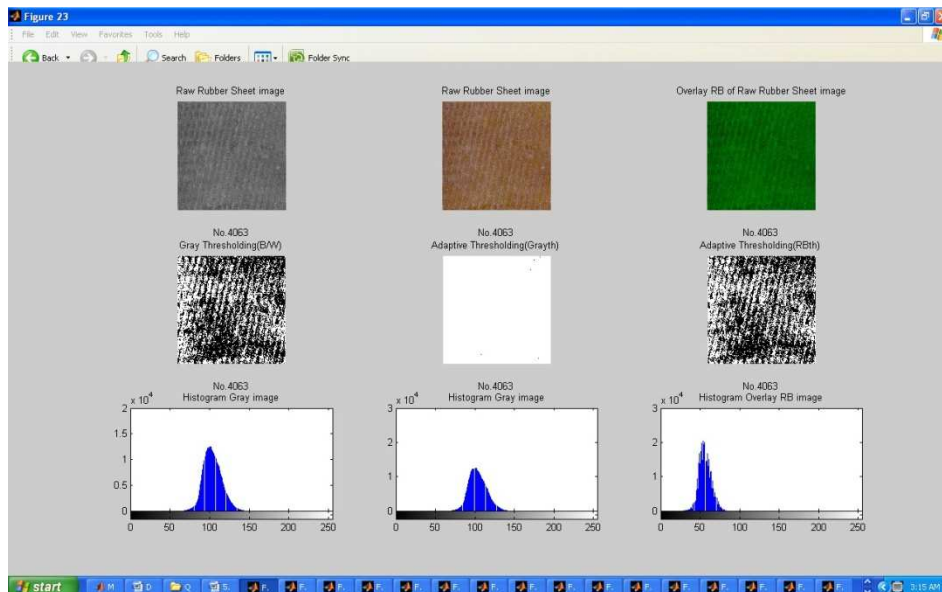
ภาพที่ ง.20 ผลการวิเคราะห์ภาพผลลัพธ์ใช้เทคนิคค่าเกณฑ์แบบปรับตัวที่นำเสนอของภาพหมายเลข 4054



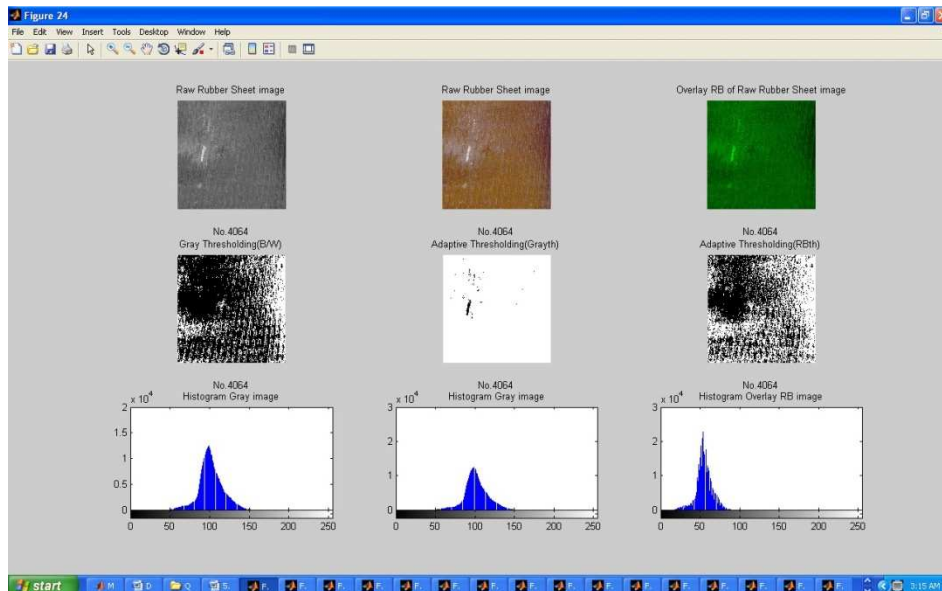
ภาพที่ ง.21 ผลการวิเคราะห์ภาพผลลัพท์ใช้เทคนิคค่าเกณฑ์แบบปรับตัวที่นำเสนอของภาพหมายเลข 4061



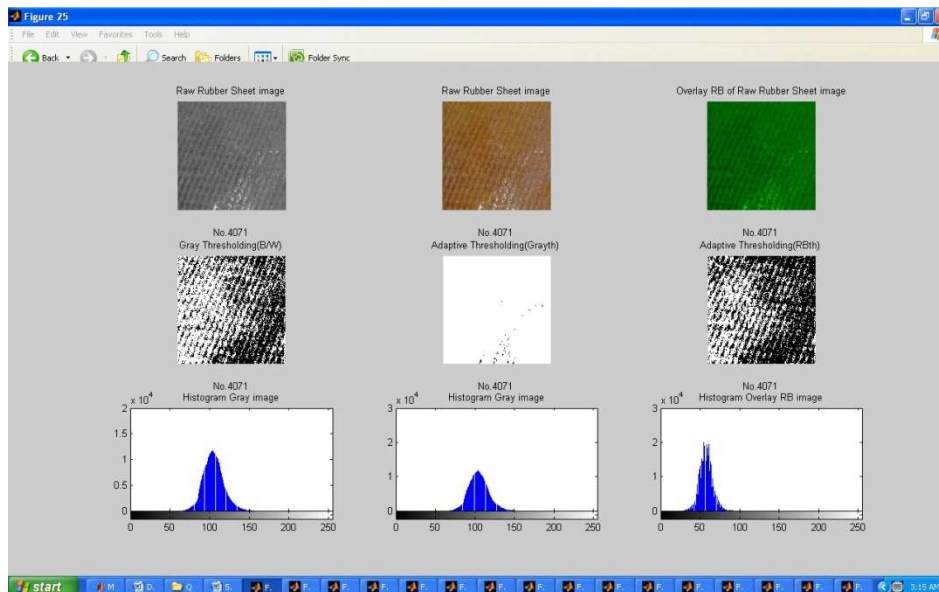
ภาพที่ ง.22 ผลการวิเคราะห์ภาพผลลัพท์ใช้เทคนิคค่าเกณฑ์แบบปรับตัวที่นำเสนอของภาพหมายเลข 4062



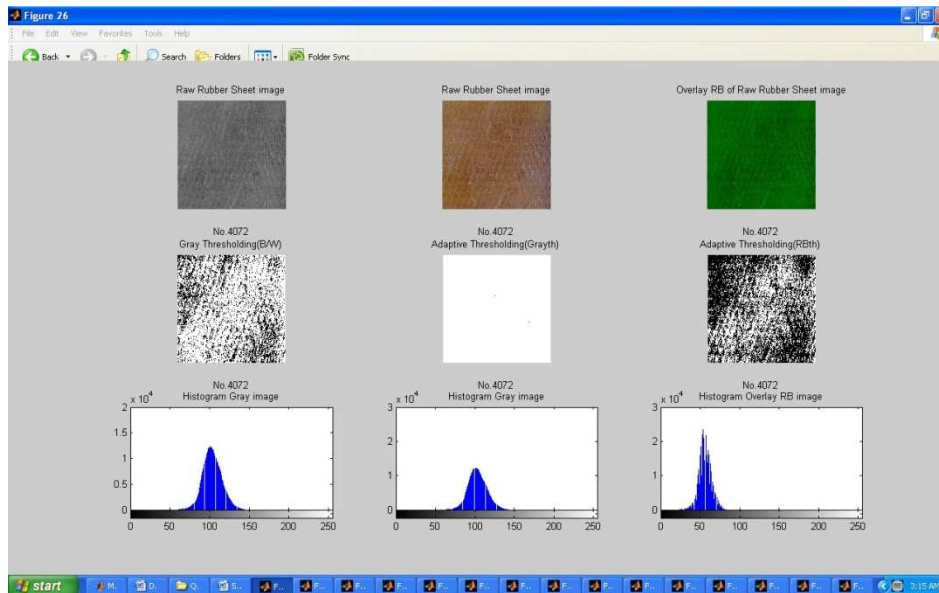
ภาพที่ ง.23 ผลการวิเคราะห์ภาพผลลัพท์ใช้เทคนิคค่าเกณฑ์แบบปรับตัวที่นำเสนอของภาพหมายเลข 4063



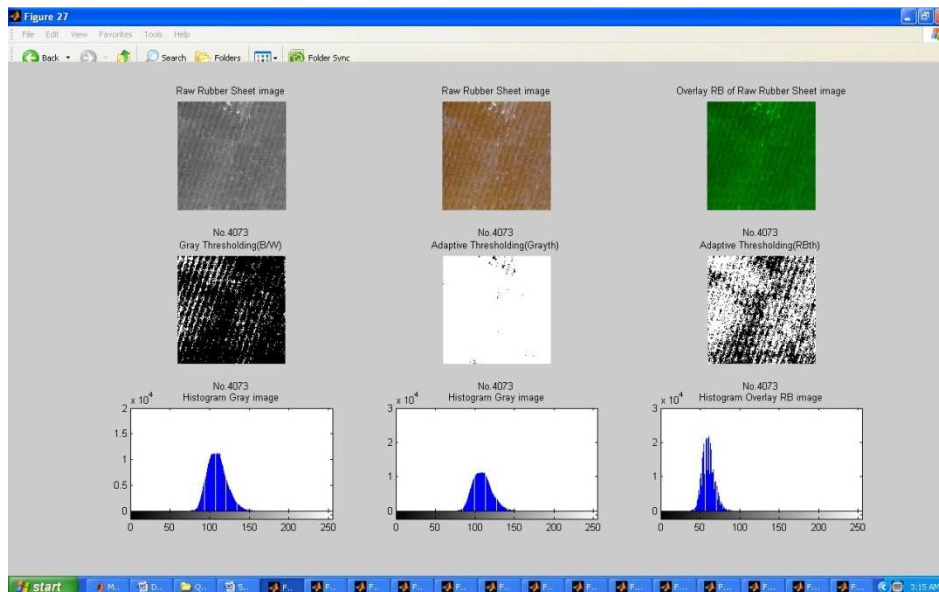
ภาพที่ ง.24 ผลการวิเคราะห์ภาพผลลัพท์ใช้เทคนิคค่าเกณฑ์แบบปรับตัวที่นำเสนอของภาพหมายเลข 4064



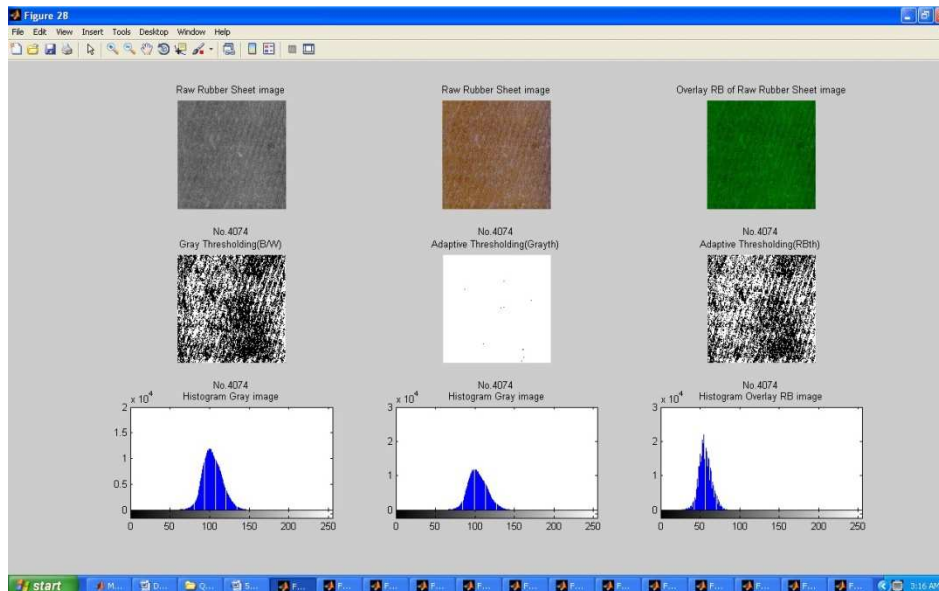
ภาพที่ ง.25 ผลการวิเคราะห์ภาพผลลัพธ์ใช้เทคนิคค่าเกณฑ์แบบปรับตัวที่นำเสนอของภาพ หมายเลข 4071



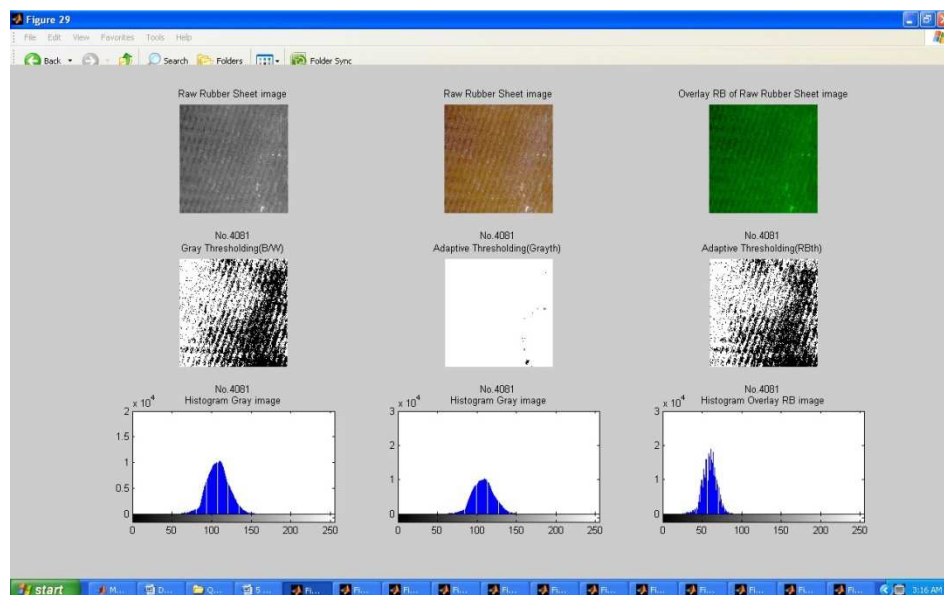
ภาพที่ ง.26 ผลการวิเคราะห์ภาพผลลัพธ์ใช้เทคนิคค่าเกณฑ์แบบปรับตัวที่นำเสนอของภาพ หมายเลข 4072



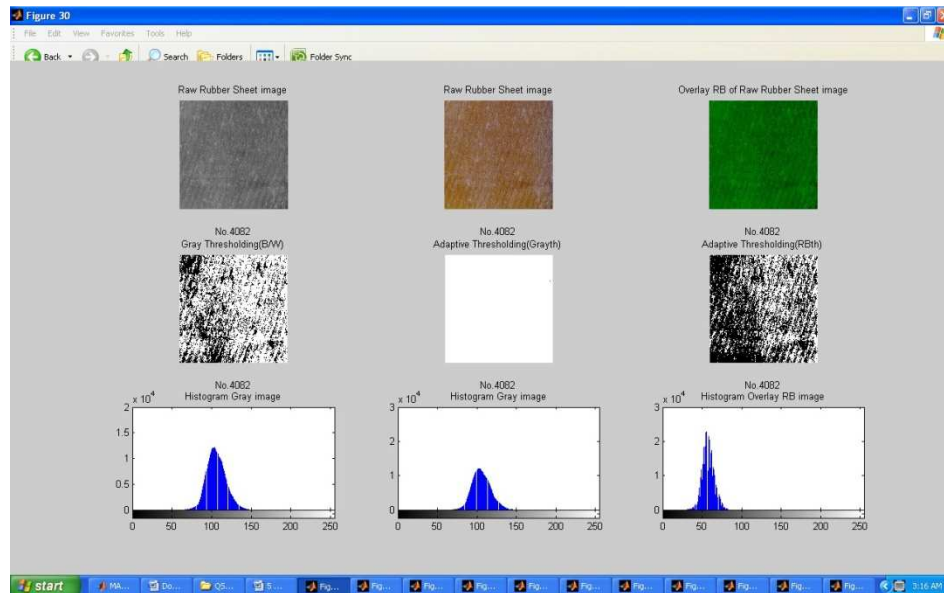
ภาพที่ ง.27 ผลการวิเคราะห์ภาพผลลัพท์ใช้เทคนิคค่าเกณฑ์แบบปรับตัวที่นำเสนอของภาพหมายเลข 4073



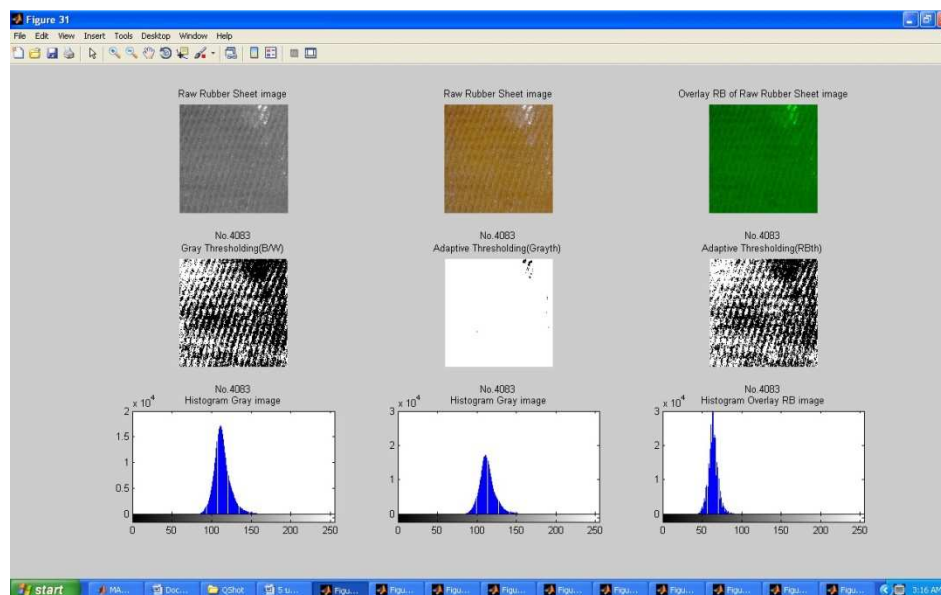
ภาพที่ ง.28 ผลการวิเคราะห์ภาพผลลัพท์ใช้เทคนิคค่าเกณฑ์แบบปรับตัวที่นำเสนอของภาพหมายเลข 4074



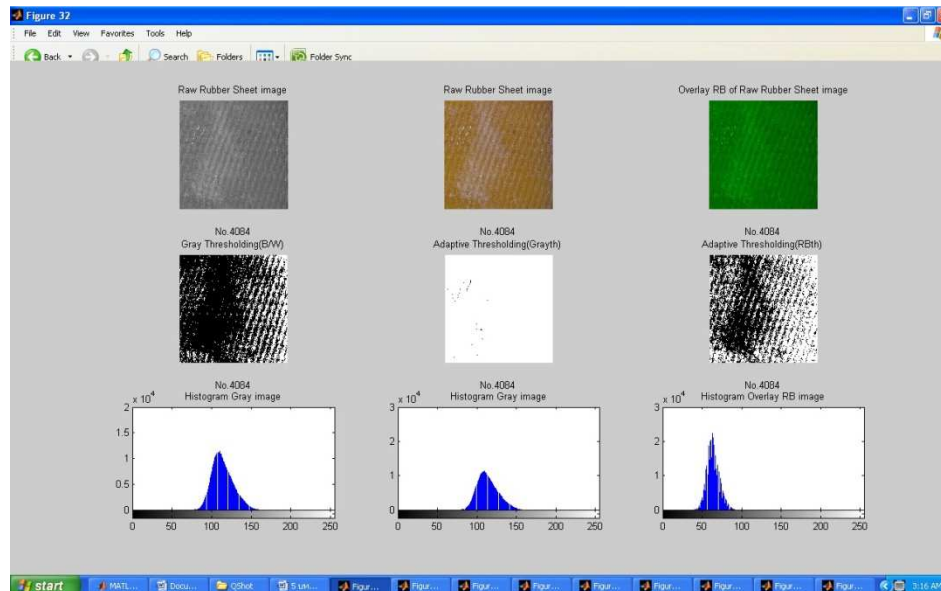
ภาพที่ ง.29 ผลการวิเคราะห์ภาพผลลัพธ์ใช้เทคนิคค่าเกณฑ์แบบปรับตัวที่นำเสนอของภาพหมายเลข 4081



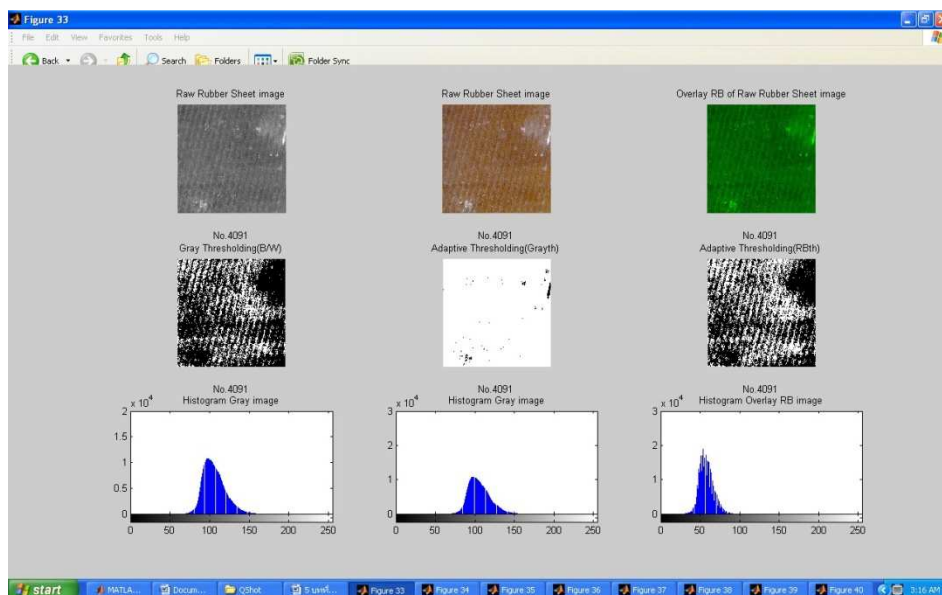
ภาพที่ ง.30 ผลการวิเคราะห์ภาพผลลัพธ์ใช้เทคนิคค่าเกณฑ์แบบปรับตัวที่นำเสนอของภาพหมายเลข 4082



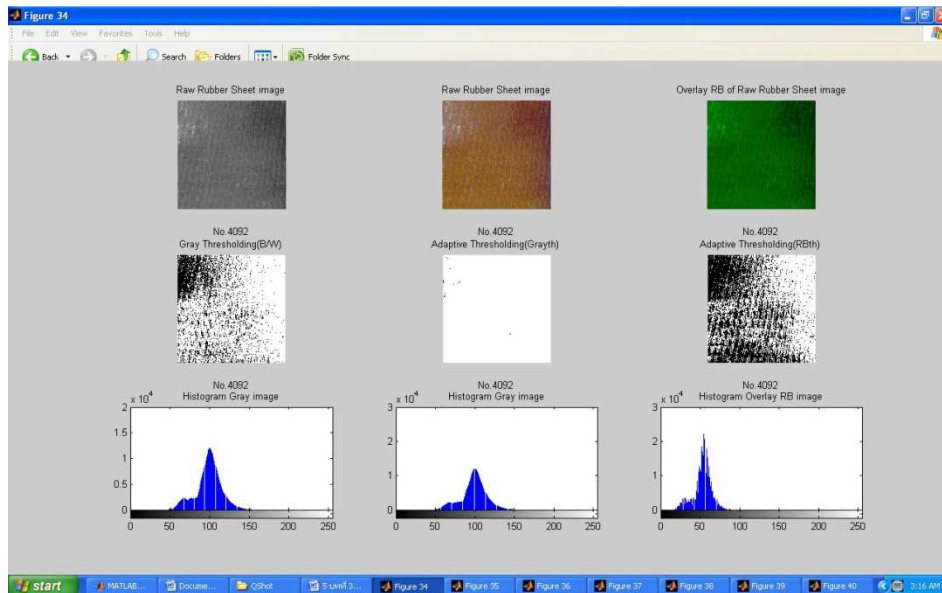
ภาพที่ ง.31 ผลการวิเคราะห์ภาพผลลัพธ์ใช้เทคนิคค่าเกณฑ์แบบปรับตัวที่นำเสนอของภาพ หมายเลข 4083



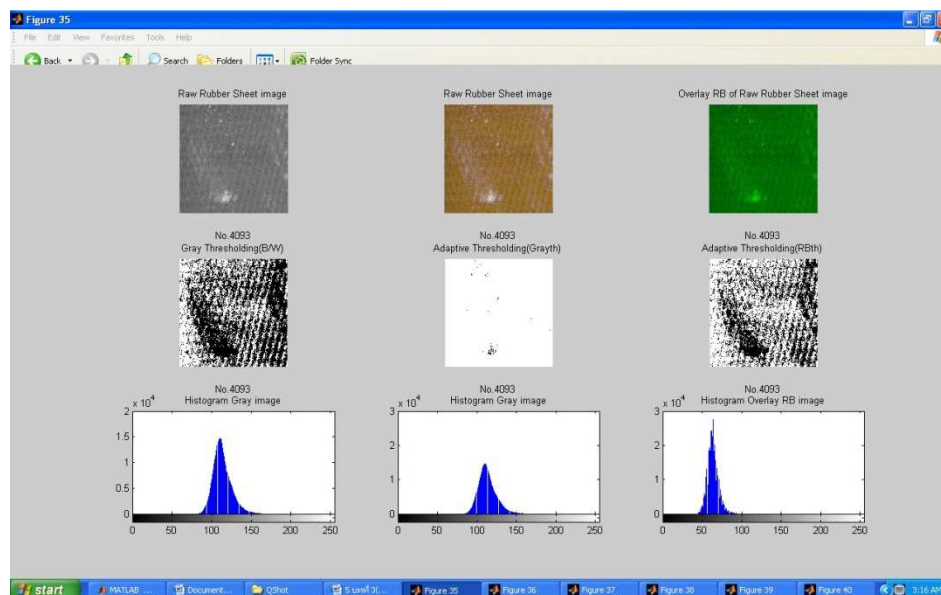
ภาพที่ ง.32 ผลการวิเคราะห์ภาพผลลัพธ์ใช้เทคนิคค่าเกณฑ์แบบปรับตัวที่นำเสนอของภาพ หมายเลข 4084



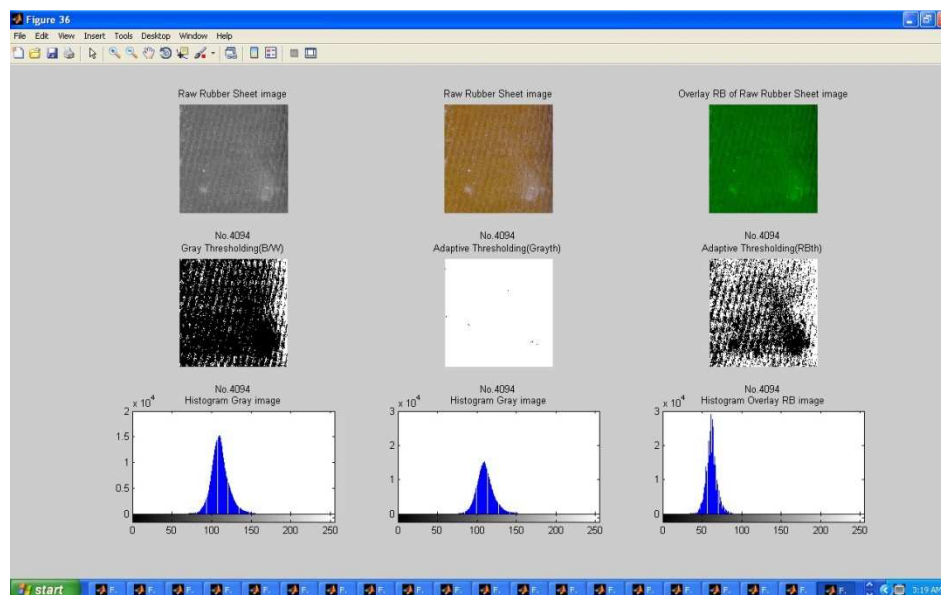
ภาพที่ ง.33 ผลการวิเคราะห์ภาพผลลัพธ์ใช้เทคนิคค่าเกณฑ์แบบปรับตัวที่นำเสนอของภาพหมายเลข 4091



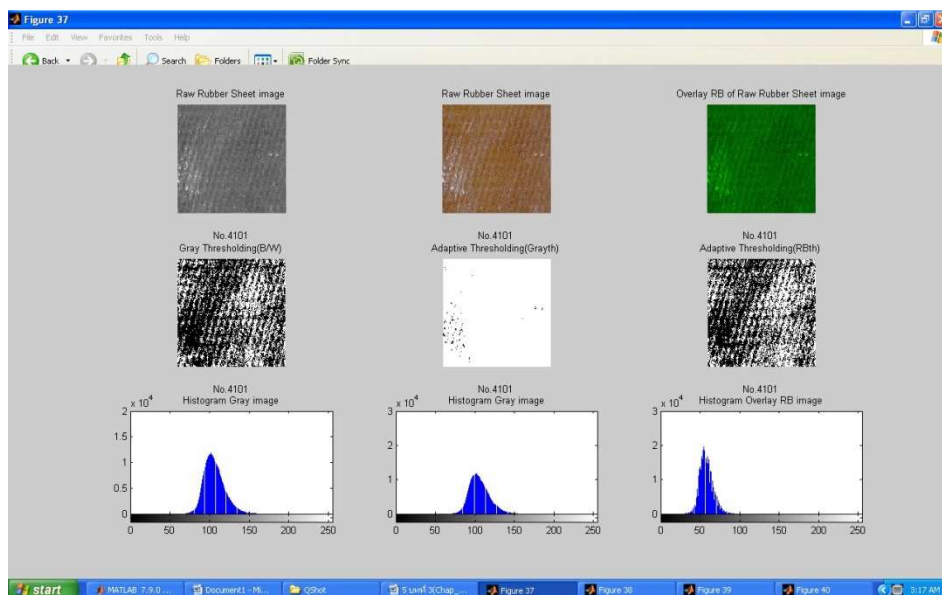
ภาพที่ ง.34 ผลการวิเคราะห์ภาพผลลัพธ์ใช้เทคนิคค่าเกณฑ์แบบปรับตัวที่นำเสนอของภาพหมายเลข 4092



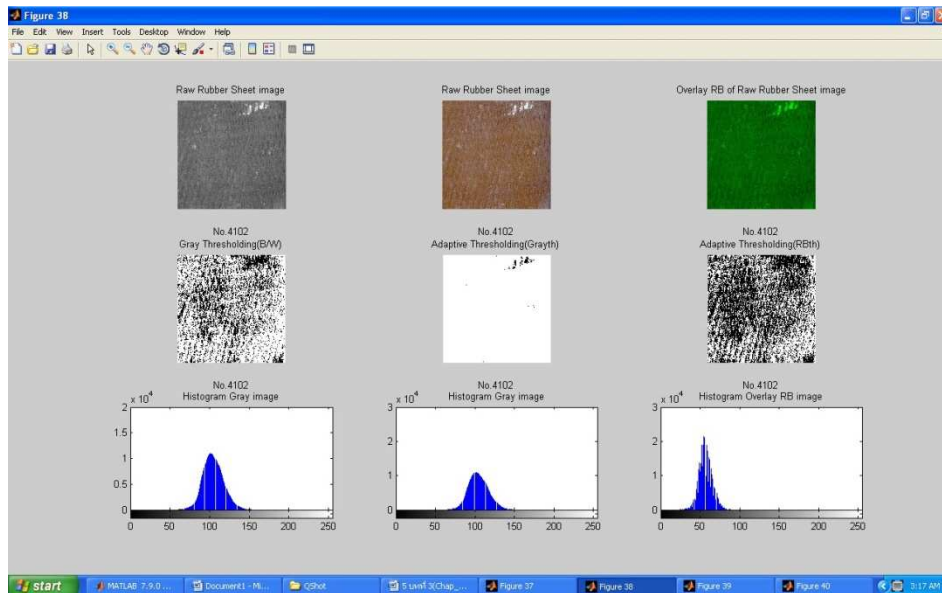
ภาพที่ ๓.35 ผลการวิเคราะห์ภาพผลลัพธ์ใช้เทคนิคค่าเกณฑ์แบบปรับตัวที่นำเสนอของภาพหมายเลข 4093



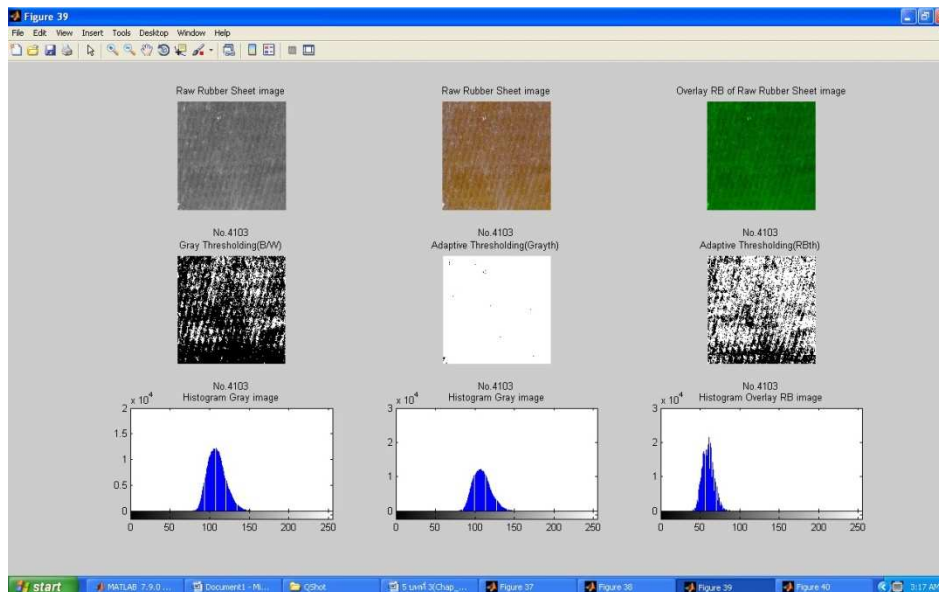
ภาพที่ ๓.36 ผลการวิเคราะห์ภาพผลลัพธ์ใช้เทคนิคค่าเกณฑ์แบบปรับตัวที่นำเสนอของภาพหมายเลข 4094



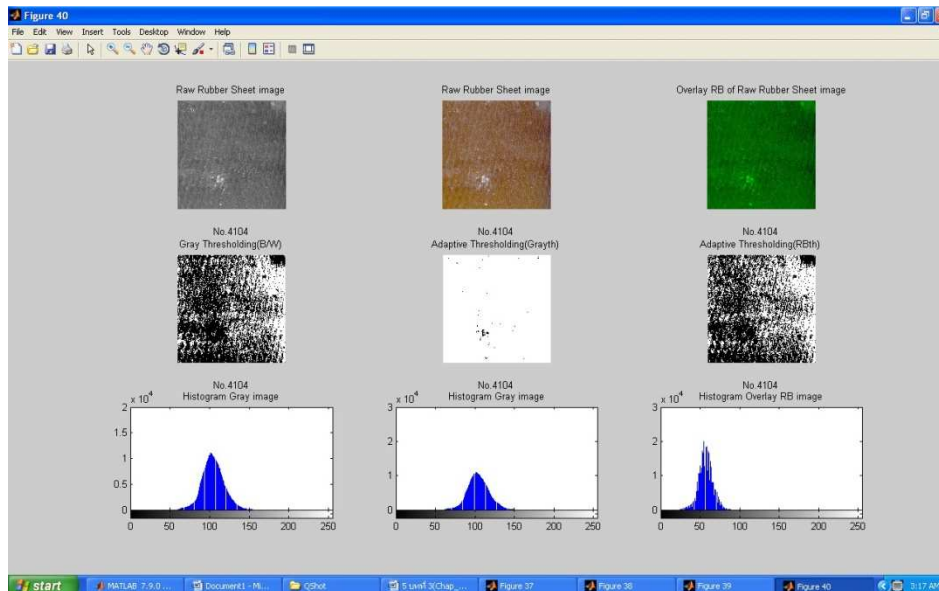
ภาพที่ ง.37 ผลการวิเคราะห์ภาพผลลัพท์ใช้เทคนิคค่าเกณฑ์แบบปรับตัวที่นำเสนอของภาพหมายเลข 4101



ภาพที่ ง.38 ผลการวิเคราะห์ภาพผลลัพท์ใช้เทคนิคค่าเกณฑ์แบบปรับตัวที่นำเสนอของภาพหมายเลข 4102



ภาพที่ ๓.39 ผลการวิเคราะห์ภาพผลลัพธ์ใช้เทคนิคค่าเกณฑ์แบบปรับตัวที่นำเสนอของภาพหมายเลข 4103



ภาพที่ ๓.40 ผลการวิเคราะห์ภาพผลลัพธ์ใช้เทคนิคค่าเกณฑ์แบบปรับตัวที่นำเสนอของภาพหมายเลข 4104